

C. J. M. Langenbeck's

mikroskopisch - anatomische

ABBILDUNGEN.

Lieferung I. II. III. IV.

MIKROSKOPISCH - ANATOMISCHE
ABBILDUNGEN

VON

C. J. M. LANGENBECK,

ORDENTLICHEM PROFESSOR DER ANATOMIE UND CHIRURGIE.

ZUR

ERLÄUTERUNG SEINES ANATOMISCHEN HANDBUCHES.

ERSTE LIEFERUNG.

TAFEL I — VII.

GÖTTINGEN

IN DER DIETERICHSCHEN BUCHHANDLUNG.

1 8 4 6.

ERKLÄRUNG DER ABBILDUNGEN.

T A F. I.

STRUCTUR DER KNORPEL UND DER KNOCHEN.

- Fig. 1. Knorpelzellen mit Kernen der Cartilago costae.
Fig. 2. Ebenfalls.
Fig. 3. Knorpelzellen aus einem Knorpel im Testikel.
Fig. 4. Cartilago thyreoidea.
Fig. 5. Cartilago intervertebralis.
Fig. 6. Nucleus gelatinosus fibrocartilaginis intervertebralis.
Fig. 7. Ebenfalls.
Fig. 8. Knorpelzellen zwischen der Baudmasse der Cartilago intervertebralis.
Fig. 9. Synchondrosis ossium pubis.
Fig. 10. Knorpelzellen einer noch nicht verknöcherten Patella.
Fig. 11. Knorpelzellen einer Epiphysis cartilaginea condyli femoris.
Fig. 12. Epiphysis cartilaginea mit Blutgefässen.
Fig. 13. Patella cartilaginea mit Blutgefässen.
Fig. 14. Zeigt den Übergang der Knorpelzellen in Knochenkörperchen einer Rippe.
1. Knorpelzellen.
2. Anfangende Knochenkörperchen.
Fig. 15. Ebenfalls an einer im Verknöchern begriffenen Kniescheibe.
1. Knorpelzellen.
2. Anfangende Knochenkörperchen.
Fig. 16. Corpuscula chalicophora und Canaliculi chalicophori. 370malige Vergrößerung.
Fig. 17. Ebenfalls 400malige Vergrößerung.
Fig. 18. Ebenfalls 500malige Vergrößerung.
Fig. 19. A. Längsschnitt vom Femur. 1. Markcanälchen. 2. Knochenkörperchen.
Fig. 19. B. Querschnitt desselben Knochens. 1. Markcanälchen. 2. Knochenkörperchen.
Fig. 20. A. Querschnitt von der Spitze einer Rehrkronen. 1. Markcanälchen, mehr oder weniger incrustirt.
Fig. 20. B. Dasselbe vom äusseren Rande.
Fig. 21. Scelet eines Embryo aus dem 3ten Monate, woran die Kopfknochen ausgebreitet sind. Man sieht an der inneren

Fläche der Ossa bregmatis a. a. die Substantia reticulata, die künftige Diploe, Albin's Substantia rara, Scarpa's Stopfwerk — Tomentum — noch nicht von der Tabula — Pagina — interna incrustirt.

- Fig. 22. Knochenkörperchen der Substantia rara. 30malige Vergrößerung.
Fig. 23. Ein Stück der Substantia rara von der inneren Seite des Os bregmatis des Embryo Fig. 21. vergrößert.
Fig. 24. Blutgefässe, injicirt, in den von der Tabula — Pagina — externa ossis bregmatis noch nicht völlig incrustirten Canaliculis medullaribus.
1. Semicanaliculi — Sulci — medullares mit injicirten Gefässen.
2. Schon begonnene Schliessung — Incrustatio — durch die Tabula — Pagina — externa.
3. Stärkere Incrustatio am Tuber parietale. Die Gefässe scheinen nur als rothe Punkte durch.
Fig. 25. Injicirte Gefässe im noch nicht incrustirten Tomentum — in Sulcis medullaribus —. a. bezeichnet eine incrustirte Stelle des Tuber parietale.
Fig. 26. Wo man Gefässe bloss sieht, da sind die Canaliculi noch nicht geschlossen. 1. 1. bezeichnen Canaliculi medullares.
Fig. 27. Zeigt dasselbe.
1. 1. Canaliculi medullares.
2. 2. Gefäss.
Fig. 28. Das Pericranium, von der Substantia reticulata — Tomentum — abgezogen.
1. Pericranium.
2. Tela uniens parva.
3. 3. Ein Maschengewebe, welches beim Abziehen des Pericranium auf der Substantia rara sitzen bleibt und die Semicanaliculi mit ihren Gefässen vor der Incrustatio ossea überzieht.
4. Durchscheinende injicirte Gefässe.

Fig. 1.

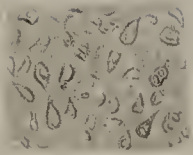


Fig. 2.



Fig. 3.

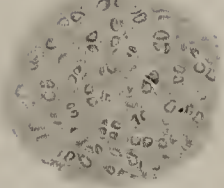


Fig. 4.

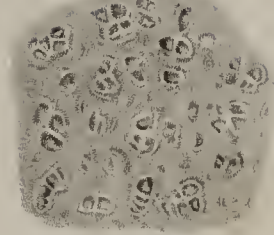


Fig. 5.



Fig. 6.

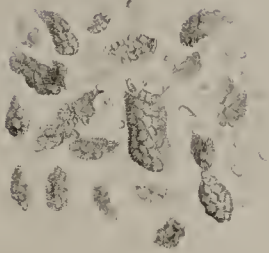


Fig. 7.

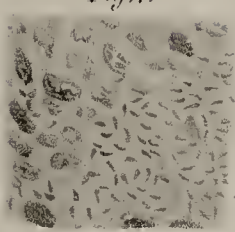


Fig. 8.



Fig. 9.



Fig. 10.



Fig. 11.



Fig. 12.



Fig. 13.

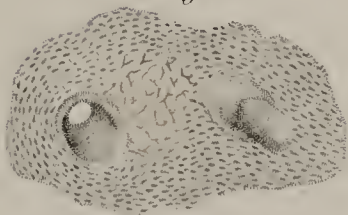


Fig. 14.

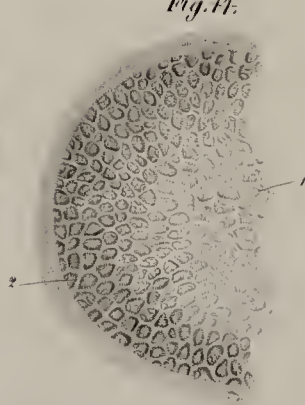


Fig. 16.



Fig. 17.



Fig. 19.



Fig. 21.



Fig. 22.

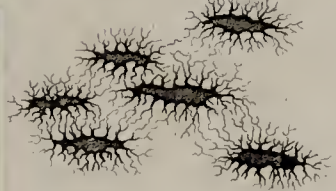


Fig. 23.

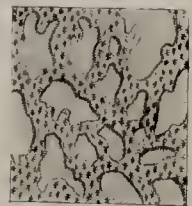
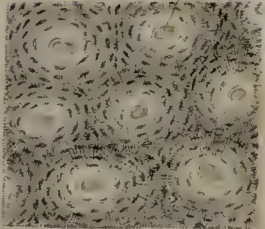
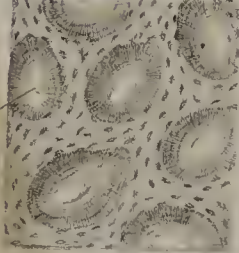


Fig. 19.



A

Fig. 20.



B

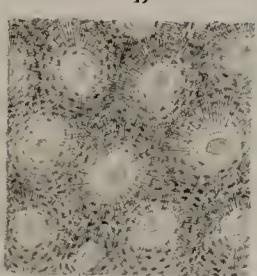


Fig. 25.



Fig. 26.

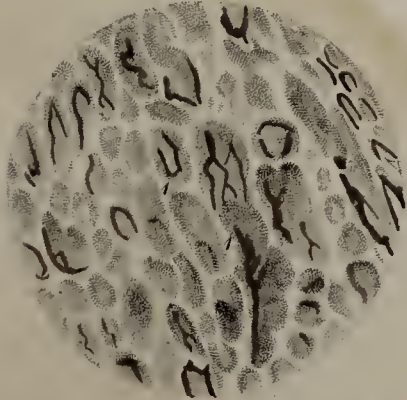


Fig. 27.

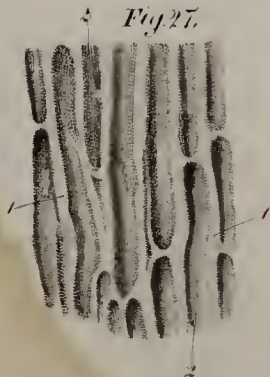


Fig. 28.



Fig. 24.



Fig. 29.



T A F. II.

STRUCTUR DER ZÄHNE.

Fig. 1. Längedurchschnitt eines Cuspidatus — schwache Vergrößerung —.

1. 1. 1. 1. 1. Schmelzfasern — Substantia adamantina, vitrea —.
2. 2. Linea terminalis undulata.
3. Substantia dentalis propria, tubulosa — Zahnröhrchen, Ebur, Ivoire —.
4. 4. Substantia ostoidea — Cément —, worin man die Knochenkörperchen sieht.
5. Sogenannte Substantia cornea an der Wurzelspitze ohne Zahnröhrchen, aber mit zahlreichen Knochenkörperchen versehen.
6. Canalis dentalis mit den feinen Öffnungen der in diesen einmündenden Zahnröhrchen.

Fig. 2. Obige Figur, stärker vergrößert, und in drei Theile getheilt.

1. Schmelzfasern.
2. 2. Linea terminalis undulata.
3. Zahnröhrchen.
4. 4. Substantia ostoidea, worin man Knochenkörperchen vergrößert sieht, wie auf Fig. 1. 4.
5. 5. Zahnröhrchen in einem Mittelstück der Wurzel.
6. Öffnungen derselben im Zahncanal, welche deutlicher zu sehen sind.
7. Zahnröhrchen im Wurzelstück.
8. 8. Zahlreiche Knochenkörperchen in der Wurzelspitze.

Fig. 3. Stärker vergrößert. 1. Schmelzfasern. 2. Zahnröhren. 3. 3. Linea terminalis undulata.

Fig. 4. Geöffnete und geschlossene Zahnröhrchen.

Fig. 5. Einzelne Zahnröhrchen, schräg und transversell durchgeschnitten, und stark vergrößert. Das Weiße ist das Lumen, und das Schwarze die Röhrchenwand.

1. Lumen im schrägen Durchschnitt.
2. Wand im schrägen Durchschnitt.

Fig. 6. Fünf Knochenkörperchen aus der Substantia ostoidea der Wurzelspitze. 500mal vergrößert.

Fig. 7. Querschnitt der Corona dentis.

1. 1. Schmelzfasern.
2. 2. Linea terminalis undulata.
3. 3. Zahnröhren.
4. Durchgeschnittenes Antrum coronae.

Fig. 8. Querschnitt von der Zahnwurzel.

1. 1. Substantia ostoidea, mit Knochenkörperchen.
2. 2. Linea terminalis.
3. 3. Zahnröhrchen.

4. Durchgeschnittener Canalis dentalis.

Fig. 9. Querschnitt von der Wurzelspitze.

1. 1. Substantia ostoidea, Knochenkörperchen.
2. 2. Zahnröhrchen.
3. Canalis dentalis.

Fig. 10. Spitzhütchen, vom Zahnkeim — von der Keimkrone, dem Keimgipfel — eines Cuspidatus abgezogen.

Fig. 11. Ein kleines Stück vom Spitzhütchen.

1. Obere Spitze desselben, vollendete Schmelzfasern.
2. Unteres Ende desselben, wo der Schmelz noch nicht völlig ausgebildet zu seyn scheint. Diese Stelle erscheint perlenförmig.

Fig. 12. Einzelne Schmelz-Säulchen-Prismen — Krystallnadeln —.

Fig. 13. Stärker vergrößerte Schmelzsäulchen.

Fig. 14. Corona dentis cuspidati mit aufgesetzten Schmelzprismen, welche man beim Foetalzahn mit der Spitze des Messers von der Substantia tubulosa abnehmen kann.

1. 1. Substantia tubulosa.
2. Antrum coronae.
3. Schmelznadeln.

Fig. 15. Desgleichen.

Fig. 16. Dens buccalis, noch nicht durchgedrungen.

1. Substantia tubulosa.
2. Schmelznadeln.

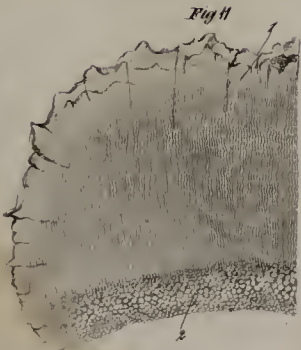
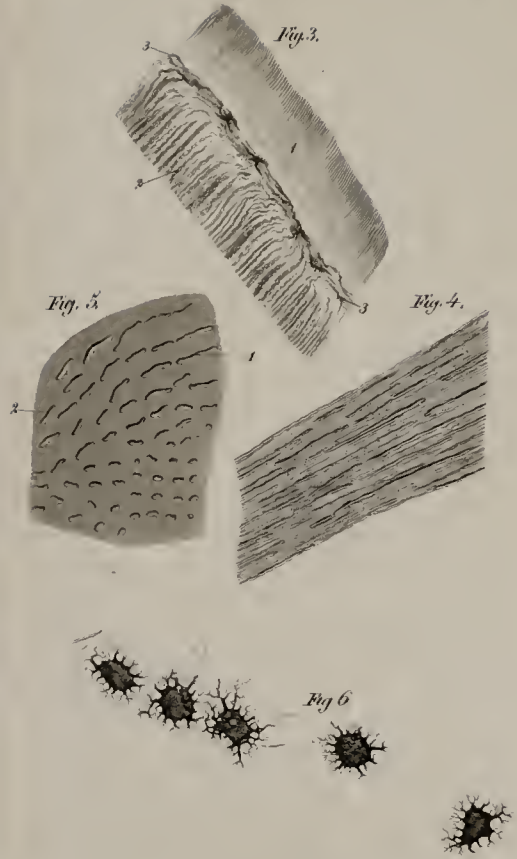
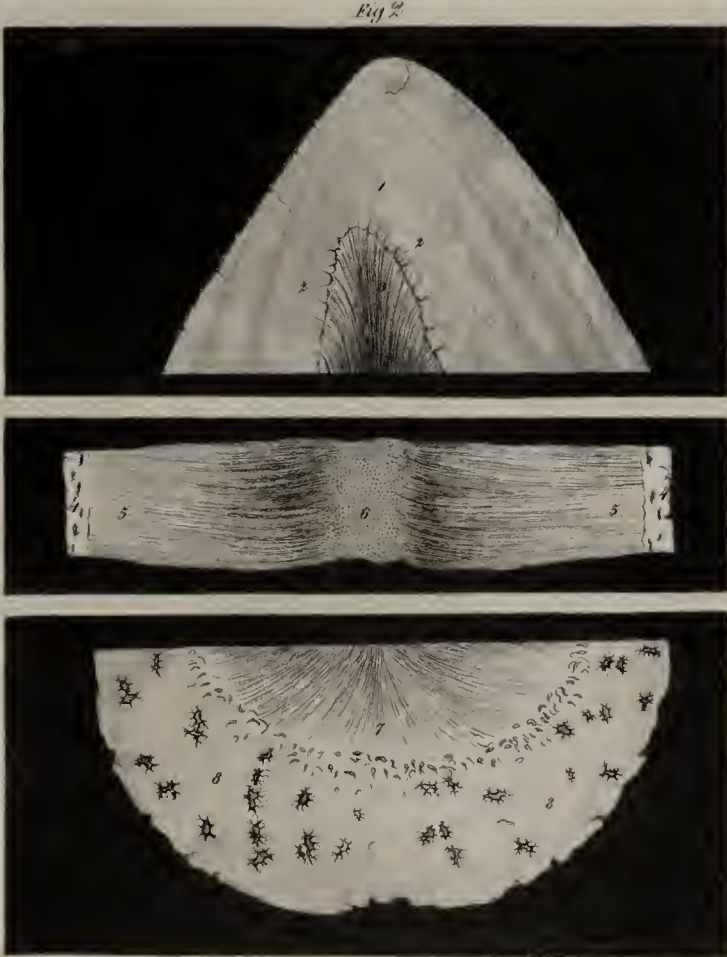
Fig. 17. Zahnembryo — Pulpa dentis, Zahnkeim ohne Hülle —, mit dem Fruchthalter — Keimstätte, Uterus mit Placenta und Funiculus umbilicalis —, injicirt.

1. Sacculus dentis — Uterus — injicirt — Placenta —, geöffnet, um den Zahnembryo zu sehen.
2. Embryo — Keim — eines Cuspidatus, injicirt.
3. Arteria dentalis — Funiculus umbilicalis —, welche von dem Gefässnetz — Placenta — des Sacculus dentis — Fruchthalter — in den Zahnkeim tritt.
4. Circulus arteriosus — eine Fortsetzung der Arteria dentalis.

Fig. 18. Spitzhütchen von dem Zahnembryo Fig. 17. abgenommen.

Fig. 19. Der Zahnembryo eines Cuspidatus ist senkrecht durchgeschnitten, und steckt in der Substantia tubulosa, vom Schmelz umgeben.

1. Substantia tubulosa coronae.
2. Schmelz.
3. Zahnkeim.
4. Sacculus dentis.



T A F. III. Z Ä H N E.

- Fig. 1. Dens incisivus succedens.
 1. Schmelz.
 2. Substantia tubulosa coronae.
 3. Substantia ostoidea.
 4. Substantia tubulosa radialis.
 5. Antrum coronae.
 6. Canalis dentis.
- Fig. 2. Dens cuspidatus succedens.
 1. Schmelz.
 2. Substantia dentis coronae.
 3. Canalis dentis.
 4. Ein Pferdehaar vom Zahncanal durch's Wurzelloch geführt.
- Fig. 3. Dens buccalis succedens maxillae superioris. Durch den Canal der einen Wurzel — Apex bifurcatus — ist ein Pferdehaar zum Wurzelloch heraus geführt.
- Fig. 4. Dens buccalis cedens maxillae inferioris — zwei Wurzeln habend —.
 1. Schmelz.
 2. Substantia tubulosa.
 3. Antrum coronae.
- Fig. 5. Dens buccalis cedens maxillae superioris — drei Wurzeln, wovon man die eine nicht sieht —.
 1. Antrum coronae.
 2.2. Canales dentales.
- Fig. 6. Dens buccalis cedens mit weiten Wurzelcanälen.
- Fig. 7. Dens buccalis cedens maxillae superioris.
 1. Durch drei Löcher ist das Antrum coronae geöffnet.
 2. Drei Wurzeln, deren Canäle sich durch die drei Öffnungen des Antrum darstellen.
- Fig. 8. Dens buccalis cedens maxillae superioris.
 1. Ganz geöffnetes Antrum coronae.
 2.2.2. Öffnungen der Canäle der drei Wurzeln.
- Fig. 9. Maxilla superior eines im zweiten Zahnen begriffenen Kindes — Successio im 6ten, 7ten bis 8ten Jahre —.
 1.1. Alveoli dentium incisivorum cedentium.
 2.2. Alveoli dentium incisivorum succedentium — hinter den ersteren —, aus welchen die Incisivi futuri hervorblicken.
 3.3. Alveoli dentium cuspidatorum cedentium.
 4.4. Foramina canalium alveolodentalium, welche in die Alveolen der Dentes cuspidati futuri — hinter den ersteren — führen. Eine Communication der Alveole des Successor mit dem Cedens zeigt ein Pferdehaar.
 5.5. Dentes buccales cedentes.
 6. Dens molaris primus — ut permanens natus —.
 7. Paries anterior alveoli dentis cedentis.
 8. Paries posterior alveoli dentis cedentis — Interseptum zwischen den Alveolen eines Cedens und Succedens —.
 9. Septum interalveolare.
- Fig. 10. Maxilla inferior, woran dasselbe zu sehen ist.
 1.1. Alveoli dentium incisivorum cedentium.
 2.2. Alveoli dentium incisivorum succedentium — hinter den ersteren —.
 3. Interseptum zwischen der Alveole des Dens cedens und succedens.
 4.4. Cuspidati.
 5.5. Buccales.
- Fig. 11. Sacculi dentium succedentium maxillae superioris.
 1.1. Incisivi cedentes.
 2.2. Buccales cedentes.
 3.3. Incisivi succedentes.
 4. Sacculi dentium incisivorum succedentium, mit den Zähnen.
 5.5. Sacculi dentium cuspidatorum succedentium.
 6.6. Iter dentis — Gubernaculum —, Canalis alveolodentalis sacculi dentis cuspidati succedentis.
- Fig. 12. Sacculi dentium succedentium maxillae inferioris.
 1. Incisivi cedentes.
 2.2. Buccales cedentes anteriores.
 3.3. Incisivi succedentes in ihren geöffneten Säckchen.
 4.4. Iter dentis succedentis.
 5.5. Cuspidati cedentes, noch nicht durchgebrochen.
 6.6. Buccales secundi, noch im Keimen.
 7.7. Primi molares im Keimen.
- Fig. 13. Maxilla superior, woran man die Alveolen der Buccales succedentes oberhalb der Alveolen der Buccales cedentes liegen sieht.
 1. Buccales cedentes — drei Wurzeln —.
 2. Buccales succedentes.
 3. Interseptum zwischen beiden Alveolen — Pavimentum alveoli dentis succedentis und Tegmen alveoli cedentis —.
- Fig. 14. Maxilla inferior — von aussen —, woran man dasselbe sieht.
 1. Buccales cedentes — zwei Wurzeln —.
 2. Buccales succedentes.
 3.3. Alveolus dentis succedentis unter der Alveole des Cedens, liegend zwischen den beiden Wurzeln desselben — Pavimentum alveoli Cedentis und Tegmen alveoli Succedentis —.
 4. Cuspidatus succedens.
 5. Incisivus lateralis succedens.
 6.6. Interseptum zwischen der Alveole des Incisivus und Cuspidatus cedens und succedens.
 7. Molaris primus.
- Fig. 15. Alveoli dentium succedentium maxillae inferioris von hinten.
 1. Ein Pferdehaar gebracht von der Alveole des Incisivus lateralis primus succedens zum Foramen alveolodentale heraus.
 2. Eben so von der Alveole des Incisivus lateralis secundus succedens durch's Foramen alveolodentale heraus.
 3. Cuspidatus succedens, von dessen Alveole ein Pferdehaar zum Foramen alveolodentale herausgeführt worden ist.
 4. Buccalis primus.
 5. Buccalis secundus.
 6.6. Foramina alveolodentalia, durch Pferdehaare bezeichnet.
 7. Molaris primus.
- Fig. 16. zeigt injicirte geöffnete Sacculi dentales dentium cedentium des Ober- und Unterkiefers, worin die Incisivi, ein Cuspidatus, zwei Buccales und der Molaris primus zu sehen sind. Alle Zähne sind schon von ihrem Hütchen bedeckt; die Alveolen sind von der Gingiva temporaria verschlossen.
- Fig. 17. Dasselbe am Unterkiefer.
 1. Das Hütchen des Buccalis secundus, etwas vom Keim abgehoben.
 2. Keim.
 3. Keim des Molaris primus noch nackt, injicirt.

Fig. 1.



Fig. 2.



Fig. 3.



Fig. 4.



Fig. 5.



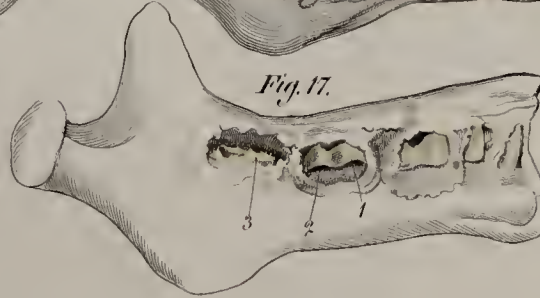
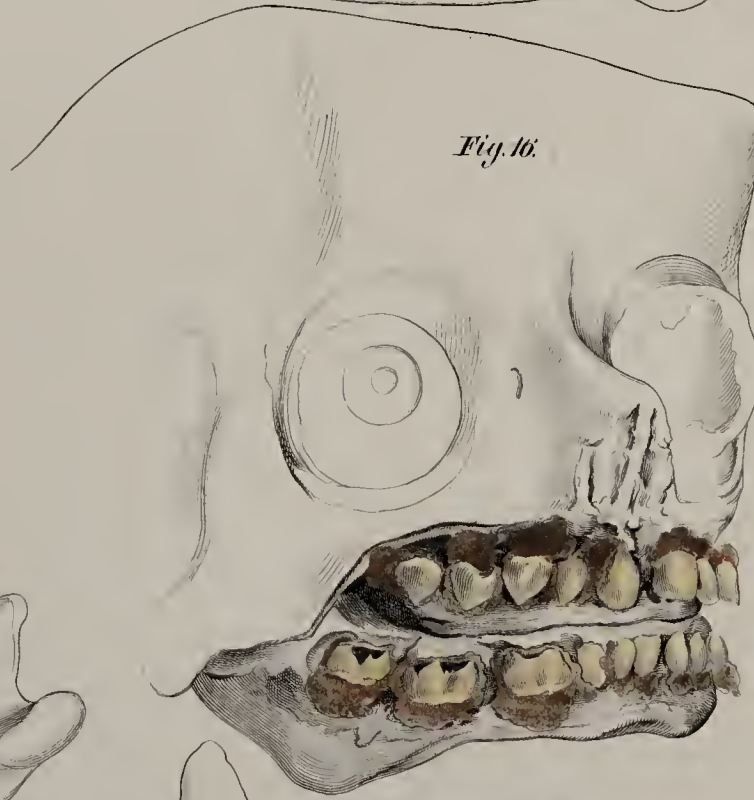
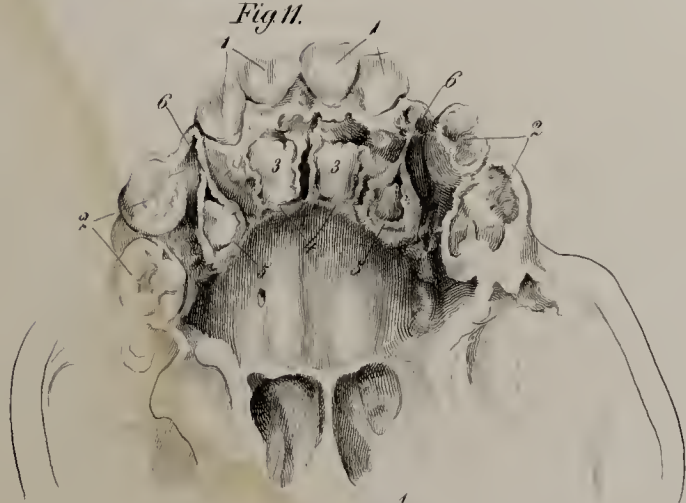
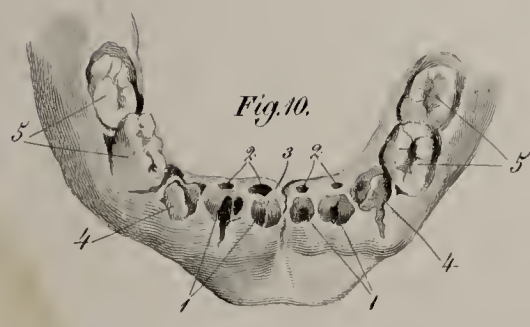
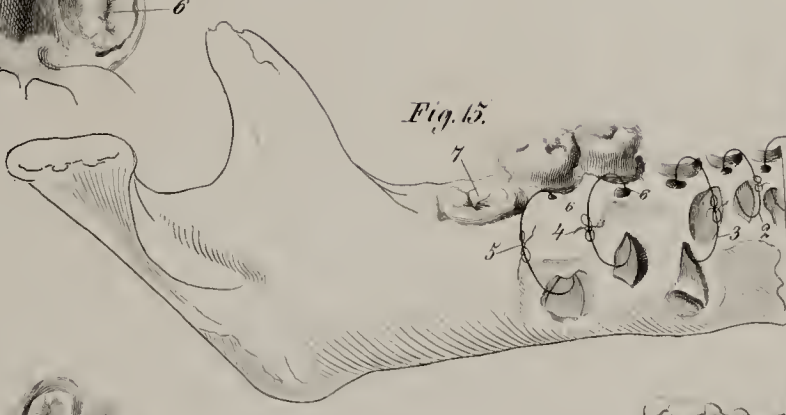
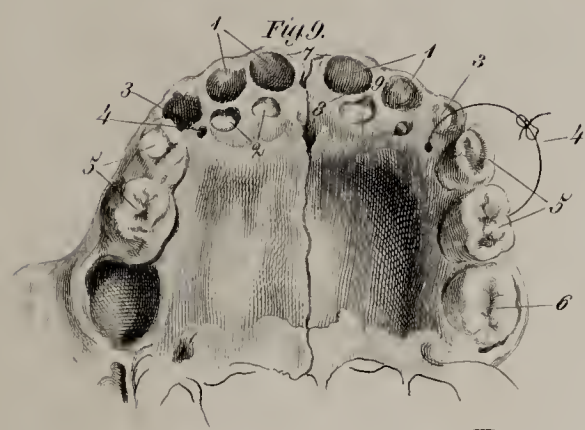
Fig. 6.



Fig. 7.



Fig. 8.

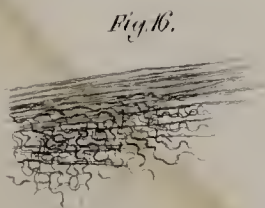
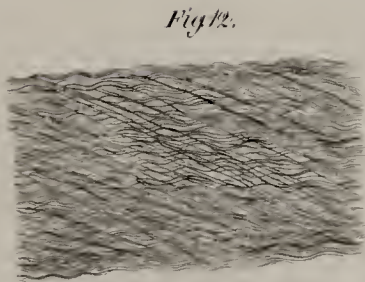
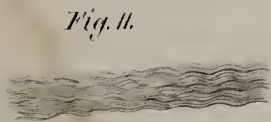
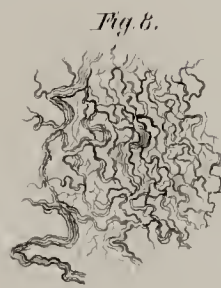
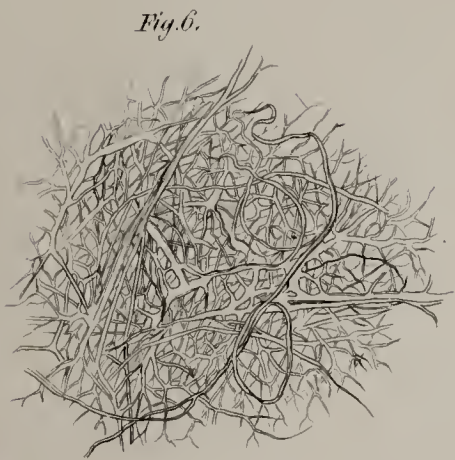
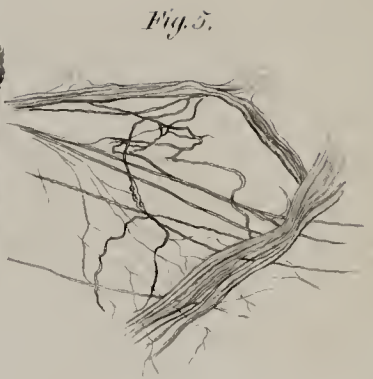


T A F. IV.

UNMERKLICH CONTRACTILE GEWEBE.

- Fig. 1. Tela fibroturbata, quastförmig dargestellt.
Fig. 2. Dieselbe in Fäden entwickelt, welche Wellenlinien bilden.
Fig. 3. Dieselbe, Schlingen bildend.
Fig. 4 und 5. Tunica cellulosa arteriae.
Fig. 6. Lamina peritonaei externa.
Fig. 7. Lamina peritonaei interna.
Fig. 8. Tunica vaginalis propria testis.
Fig. 9. Albuginea testis.
Fig. 10. Dartos.

- Fig. 11. Ein Faden von der Fascia lata.
Fig. 12. Ein grösseres Stück von der Fascia lata.
Fig. 13. Sclerotica.
Fig. 14. Sclerotica mit Pigmentzellen.
Fig. 15. Periosteum.
Fig. 16. Dura Mater.
Fig. 17. Cutis.
Fig. 18. Tendo.



T A F. V.

UNMERKLICH CONTRACTILE GEWEBE.

- Fig. 1. Ligamentum patellae.
Fig. 2. Ligamentum cruciatum genu.
Fig. 3. Fibrae fibrocartilaginis intervertebralis.
Fig. 4. Fettzellen.
Fig. 5. Fascia cubiti.
Fig. 6. Conjunctiva oculi.
Fig. 7. Zonula Zinnii.
Fig. 8. Kreisfasern der Aorta.
Fig. 9. Paries posterior der Luftröhre.
Fig. 10. Lamina fusca.
Fig. 11. Kreisfasern des Intestinum tenue.

- Fig. 12. Ligamentum Coli.
Fig. 13. Uterusfasern.
Fig. 14. Fasern des Uterus gravidus.
Fig. 15. Tela fibroturbata, zwischen zwei Bauchmuskeln.
Fig. 16. Tunica muscularis ventriculi.
Fig. 17. Fasern der Iris.
Fig. 18. Fasern der Iris. a. Margo pupillaris.
Fig. 19. Fasern der Iris.
Fig. 20. Einzelne Fasern der Iris.
Fig. 21. Detrusor urinae.

Fig. 1.



Fig. 2.

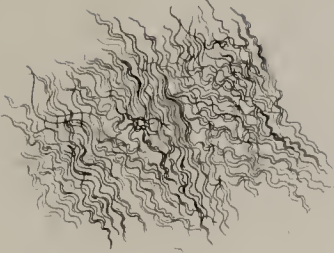


Fig. 3.



Fig. 4.

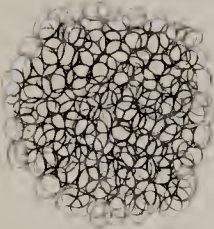


Fig. 5.

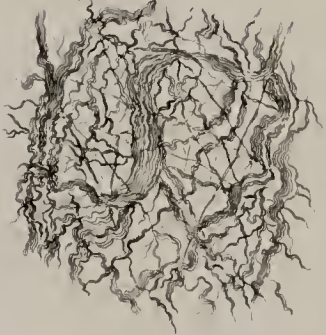


Fig. 6.

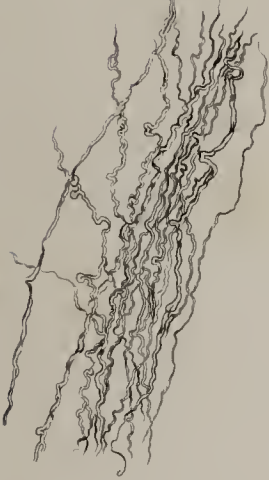


Fig. 7.



Fig. 8.

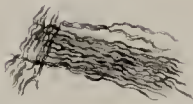


Fig. 9.



Fig. 10.



Fig. 11.



Fig. 12.



Fig. 13.



Fig. 14.

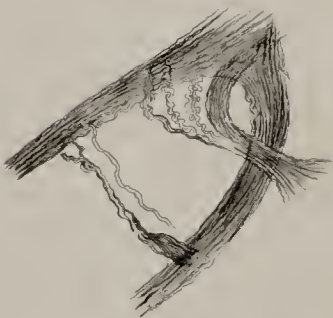


Fig. 15.

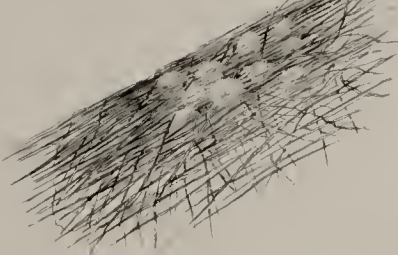


Fig. 16.

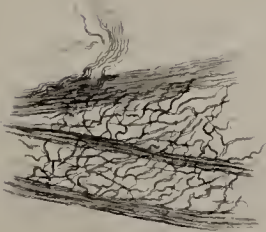


Fig. 17.



Fig. 18.

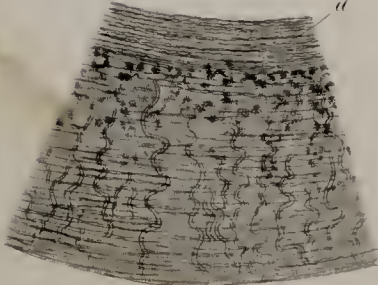


Fig. 19.

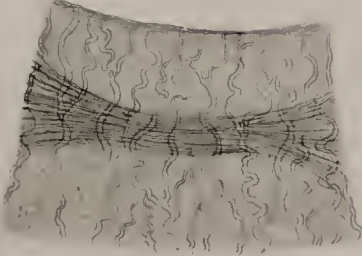
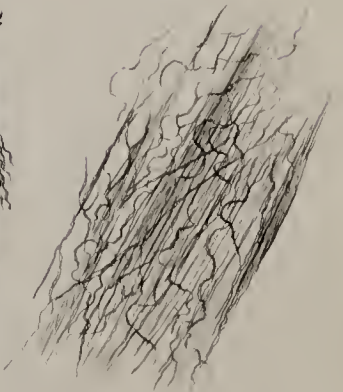


Fig. 20.



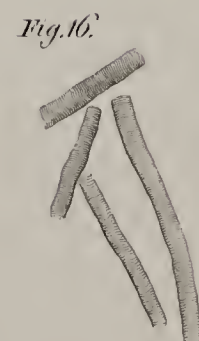
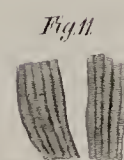
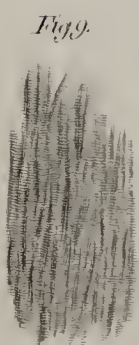
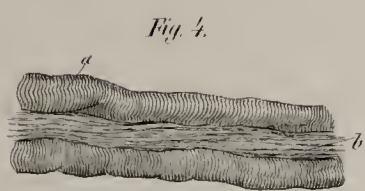
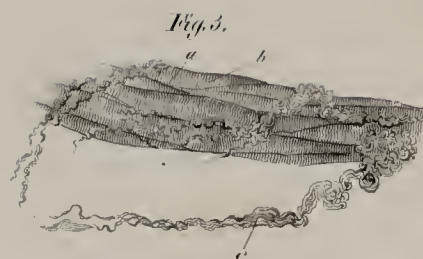
Fig. 21.



T A F. VI.
QUERGESTREIFTE MUSKELN.

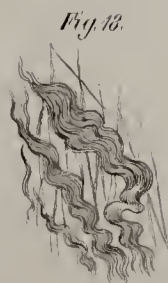
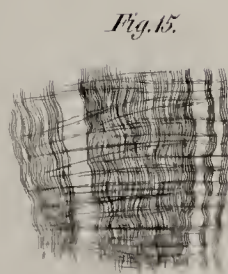
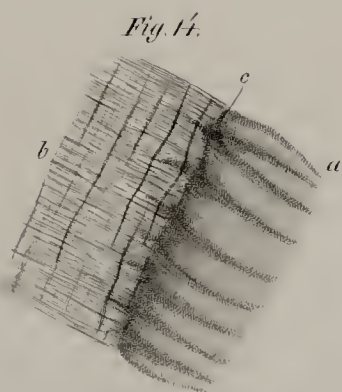
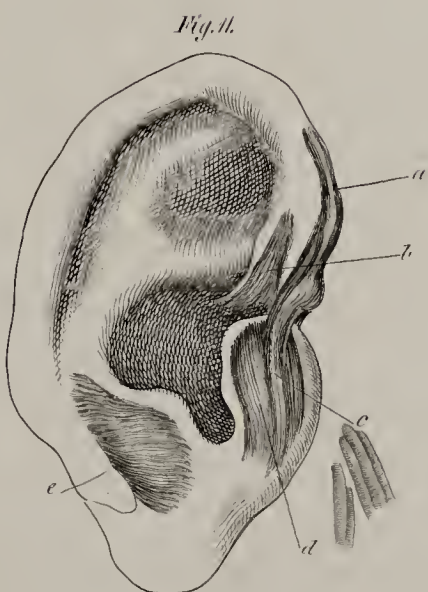
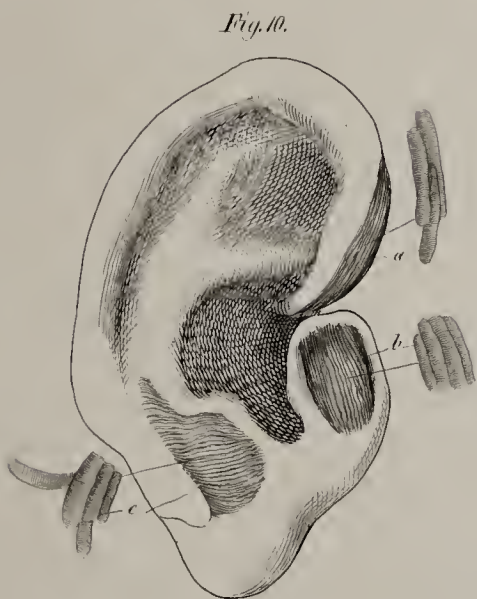
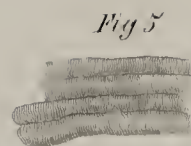
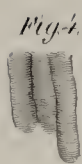
- Fig. 1. Pectoralis major. a. Primitivlängsfasern; b. Querfasern.
Fig. 2. Pectoralis major, stärker vergrößert. a. Längsfasern, b. Querfasern.
Fig. 3. Subcutaneus colli. a. Längsfasern, b. Querfasern, c. entwickeltes Bindegewebe.
Fig. 4. Cremaster. a. Querfasern, b. Interstitielles Bindegewebe.
Fig. 5. Constrictor cunni, mit Querfasern.
Fig. 6. Constrictor cunni. a. Querfasern, b. entfaltetes Bindegewebe.
Fig. 7. Diaphragma, mit Querfasern.
Fig. 8. Sphincter ani externus.

- Fig. 9. Herz, mit schwachen Querfasern.
Fig. 10. Längsfasern der Herzwand, entfaltet.
Fig. 11. Herzwand, mit Querfasern.
Fig. 12. Musculus mallei externus, ohne Querfasern.
Fig. 13. Musculus mallei internus, mit Querfasern.
Fig. 14. Musculus mallei internus, in Spiritus aufbewahrt.
Fig. 15. Tendo musculi mallei interni.
Fig. 16. Constrictor pharyngis.
Fig. 17. Querfasern des Oesophagus, nicht weit vom Magen.
Fig. 18. Constrictor pharyngis vom Kinde.
-



T A F. VII.
QUERGESTREIFTE MUSKELN.

- | | |
|--|---|
| <p>Fig. 1. Obliquus externus abdominis.
Fig. 2. Intercostalis.
Fig. 3. Arytaenoideus transversus.
Fig. 4. Cricoarytaenoideus posterior.
Fig. 5. Thyreoarytaenoideus.
Fig. 6. Intertransversarius, mit Querfasern.
Fig. 7. Interspinalis colli, mit Querfasern.
Fig. 8. Rectus oculi superior.
Fig. 9. Interspinalis dorsi, mit Querfasern.
Fig. 10. Musculi cartilaginis auris externae, mit Querfasern. a. Major helices; b. Tragicus; c. Antitragicus.
Fig. 11. a. Major helices; b. Minor helices; c. übergelender Major helices in den Tragicus; d. Tragicus; e. Antitragicus.
Fig. 12. Transversus auris.</p> | <p>Fig. 13. Tendo Achillis vom Kinde.
Fig. 14. Muskel- und Sehngewebe. a. Gastrocnemius; b. Tendo Achillis, mit Längs- und Querfasern; c. stumpfes Endigen der Muskelfasern und Anfang der Sehnen.
Fig. 15. Wellenlinien bildende Längfasern, von Querfasern überzogen, des Tendo Achillis.
Fig. 16. Fingerförmige Endigung der Muskelbündel des Gastrocnemius.
Fig. 17. Muskelgewebe des Gastrocnemius, mit Querfasern, und Tendo Achillis, mit Querfasern, mit Essigsäure behandelt.
Fig. 18. Wellenlinien bildende Muskelfasern, mit Querfasern.
Fig. 19. Stumpfe Spitzen der Muskelbündel, welche in die Zwischenräume der Sehnenbündel sich einschieben.</p> |
|--|---|
-



MIKROSKOPISCH - ANATOMISCHE
ABBILDUNGEN

VON

C. J. M. LANGENBECK,

ORDENTLICHEM PROFESSOR DER ANATOMIE UND CHIRURGIE.

ZUR

ERLÄUTERUNG SEINES ANATOMISCHEN HANDBUCHES.

ZWEITE LIEFERUNG.

TAFEL VIII — X.

GÖTTINGEN

IN DER DIETERICHSCHEM BUCHHANDLUNG.

1849.

MIKROSKOPISCH - ANATOMISCHE

ABRISSE

DES

G. J. M. LANGENBECK,

ORDENTLICHER PROFESSOR DER ANATOMIE UND CHIRURGIE

AN DER

UNIVERSITÄT ZÜRICH

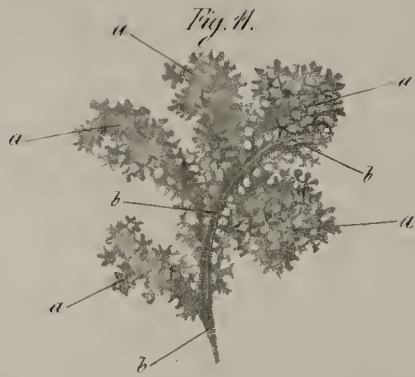
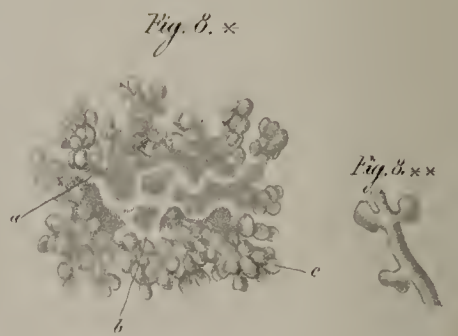
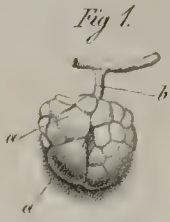
NEU HERAUSGEGEBEN

VON DR. MED. E.

VERLAG

IN DER DRUCKEREI DES VERLAGS

1870



ERKLÄRUNG DER ABBILDUNGEN.

T A F. VIII. S P E I C H E L D R Ü S E N.

Die Parotis und die Glandula submaxillaris sind Glandulae racemosae.

Fig. 1. Parotis von der Kuh.

a. a. Läppchen eines Stückchens von der Parotis der Kuh.

b. Speichelcanälchen.

Fig. 2. Parotis des Menschen in der Traubenform — 60mal —.

a. a. Speichelcanälchen.

b. b. Speichelbläschen in den Läppchen — Acini —.

Fig. 3. Parotis der Kuh, in der Form einer Traube — 80mal —.

a. a. Speichelbläschen — den Beeren ähnlich —.

b. Speichelcanälchen — den Baumzweigen ähnlich —.

Fig. 4. Ein Stück von der Oberfläche der Parotis einer Kuh — 200mal —, woran die Bläschen — Acini — dargestellt sind.

Fig. 5. Dasselbe sieht man an einem Stückchen von der Parotis des Menschen — 200mal —.

Fig. 6. Ebenso — 430mal —.

Fig. 7. Ebenso von der Kuh — 430mal —.

Fig. 8.*. Sacculi salivales mit Speicheldrüsen der Kuh — 430mal —.

a. b. Röhrechen.

c. Bläschen.

Fig. 8.**. Eine Ansicht von drei Bläschen an einem Röhrechen von der Kuh — 430mal —.

Fig. 9. Speichelbläschen von der Oberfläche der Parotis einer Kuh — 120mal —.

Fig. 10. Vom Ductus Whartonianus aus injicirte Glandula submaxillaris des Menschen — durch die Loupe gesehen —.

a. Ductus Whartonianus.

b. Traubenförmiger Anfang des Speichelapparates.

Fig. 11. Ein Theil der Glandula submaxillaris des Menschen, vom Ductus excretorius aus injicirt — 60mal —.

a. a. a. a. a. Läppchen, woran man die Acini sieht.

b. b. b. Speichelcanälchen.

Fig. 12. Ein gleiches Präparat, woran die Bläschen durchgeschnitten sind, um ihre Höhlen zu zeigen — 60mal —.

Fig. 13. Sacculi salivales glandulae submaxillaris — 120mal —.

Fig. 14. Dieselbe Ansicht.

Fig. 1.



Fig. 2.



Fig. 3.



Fig. 4.



Fig. 5.



Fig. 6.



Fig. 7.



Fig. 8.



Fig. 9.



Fig. 10.



Fig. 11.



Fig. 12.

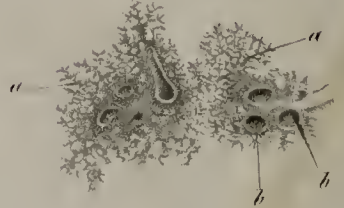


Fig. 13.

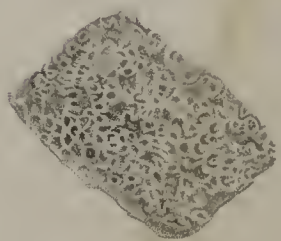


Fig. 14.

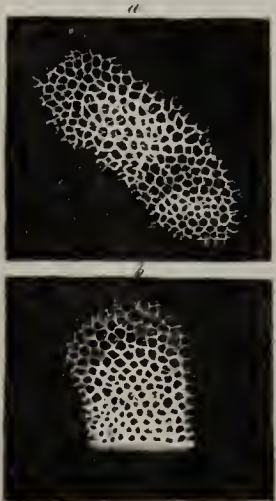


Fig. 15.



Fig. 16.



Fig. 17.



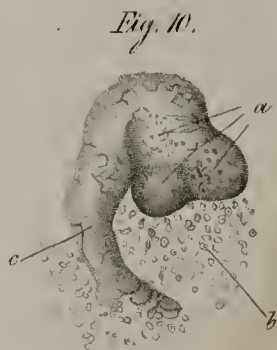
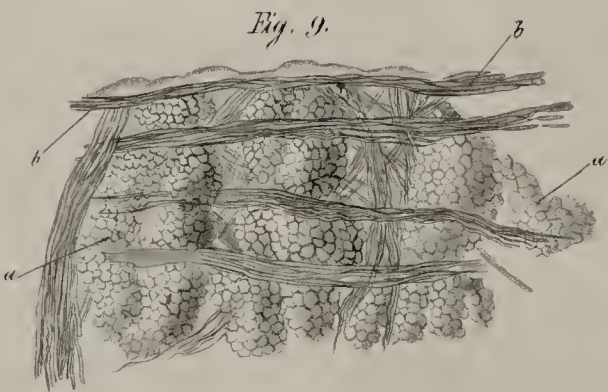
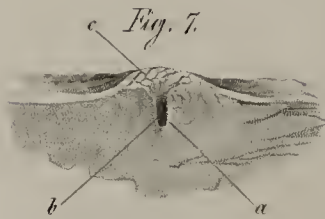
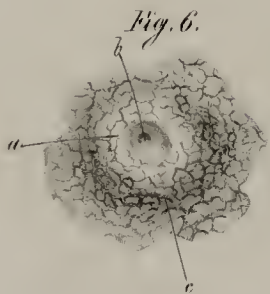
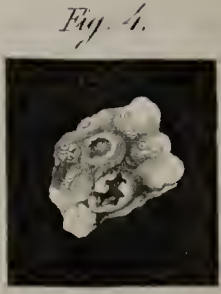
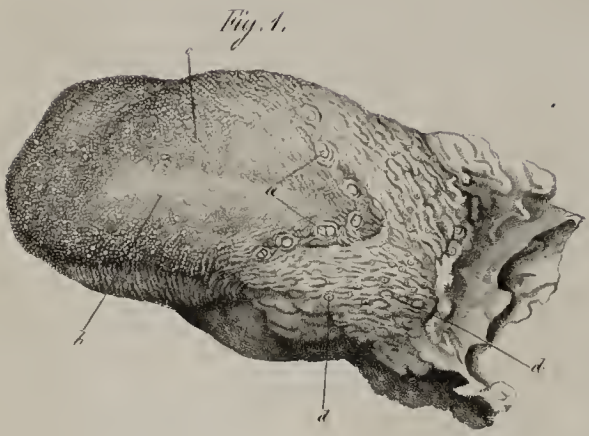
T A F. IX.

P A N C R E A S U N D L E B E R.

Beide sind Glandulae racemosae.

- Fig. 1. Pancreas, injicirt vom Ductus Wirsungianus aus.
— Loupen-Ansicht der traubenartigen Verbreitung der
Bläschen und Canälchen —.
- Fig. 2. Dieselbe Ansicht — 35mal —.
- Fig. 3. Dieselbe Ansicht — 15mal —.
- Fig. 4. Ein kleines Stück des injicirten Pancreas, woran Canäl-
chen und Bläschen sich wie Beeren und Zweige ver-
halten — 16mal —.
- Fig. 5. Canälchen und Bläschen, der Krone eines Baumes glei-
chend — 60mal —.
- Fig. 6. 7 und 8. zeigen die Höhlen der durchgeschnittenen Bläs-
chen des Pancreas — 300mal —. Auf Fig. 7. sieht
man auch ganze Bläschen.
- Fig. 9. Gewöhnliche Gefässe auf der Oberfläche der Leber.
a. Oberflächliche Ansicht.
b. Tiefere Ansicht.
- Fig. 10. Gallencanälchen mit Bläschen vom Igel, vom Ductus he-
paticus aus injicirt — 10mal —.
- Fig. 11. Gallencanälchen und Bläschen mit durchgeschnittenen
Ästchen der Vena portarum.
a. Gallencanälchen.
b. Durchgeschnittene Äste der Vena portarum.
- Fig. 12. Eine ähnliche Ansicht.
a. Gallencanälchen mit Bläschen.

- b. b. Durchgeschnittene Äste der Vena portarum.
- Fig. 13. Ein Gallencanal mit Bläschen.
a. Gallenröhrchen.
b. b. Gallenbläschen.
c. c. Pfortaderzweige.
- Fig. 14. a und b. Maschen — netzförmige Endigung — der Vena
portarum.
- Fig. 15. Maschen der Vena portarum mit sehr feinen Gefässver-
zweigungen.
- Fig. 16. Eine Injection der Leber des Igels vom Ductus hepaticus
aus bis in die Gallencanälchen und von da aus in die
Endäste der Vena portarum.
a. a. Büschel von Gallencanälchen.
b. Ein grosser Gallencanal mit Büscheln.
c. c. c. c. c. Felder im Rete venae portarum, worin die
Gallencanälchenbüschel liegen.
d. Rete venae portarum.
- Fig. 17. Drei Büschel vom Gallencanälchen der Leber eines Igels
mitten im Rete venae portarum — 200mal —.
a. a. a. Büschel von Gallencanälchen.
b. b. b. Rete venae portarum.
- Fig. 18. Zeigt den Übergang der Injections-Masse aus der Vena
portarum in die Venae hepaticae.



T A F. X.

D R Ü S E N D E R Z U N G E.

Sie sind Glandulae vesiculares mit Receptaculis pituitae — Folliculis, Cryptis —. Die Drüsen liegen hinter den Schläuchen, und deponiren den Schleim in sie.

Fig. 1. Die Zunge durch die Loupe gesehen.

- a. Papillae vallatae.
- b. Papillae conicae.
- c. Papillae fungiformes.
- d. Folliculi mucosi mit ihren Öffnungen. — In den folgenden Figuren sind alle diese Theile vergrößert.

Fig. 2. Ein senkrechter Durchschnitt zeigt die Foramina excretoria folliculorum — receptaculorum pituitae —.

Fig. 3. und 4. Säcke, geöffnete und geschlossene, mit einem Foramen excretorium, hinter welchen die Schleimdrüsen liegen und den Schleim in die Säcke — Receptacula pituitae — deponiren.

Fig. 5. Ein aufgeschnittener Schleimsack, hinter welchem die Drüsen liegen.

- a. Schlauch.
- b. Drei Drüsen, in den Sack hineinragend.

Fig. 6. Ein Schleimschlauch mit Öffnung, und von Gefäßen umspinnen.

- a. Schlauch.
- b. Öffnung.
- c. Gefäßkranz.

Fig. 7. Ein senkrechter Durchschnitt eines Schleimbehälters.

- a. Eingestülpter Sack.
- b. Höhle.
- c. Gefäßkranz.

Fig. 8. Ein Convolut von bläschenförmigen Drüsen, welche den Schleim in ihre Receptacula deponiren, gewonnen durch einen senkrechten Schnitt.

a. Traubenförmige Drüsen.

b. Deren Receptacula.

Fig. 9. Ein Convolut von bläschenförmigen Drüsen, zwischen quergestreiften Muskelfasern liegend — 20mal —.

- a. Glandulae vesiculares.
- b. Quergestreifte Muskelfasern.

Fig. 10. Einzelne Glandulae vesiculares mit einer rüsselförmigen Verlängerung. In den Bläschen zeigt sich eine körnige Masse — 300mal —.

- a. Bläschen.
- b. Herausgenommener Inhalt.
- c. Rüssel.

Fig. 11. Eine injicirte Papilla fungiformis — 90mal —.

- a. Papilla fungiformis, deren Gefäße, von der Injections-Masse strotzend, ein Rete vasculosum bilden.
- b. Injicirte Circumferentia vallata.

Fig. 12. Eine injicirte Papilla vallata — 90mal —.

- a. Das Rete vasculosum dieser Papilla ist feiner.
- b. Injicirte Circumferentia vallata.

Fig. 13. 14. Papillae conicae, injicirt. Sie gleichen den Darmzotten — 90mal —.

Fig. 15. Arteriae helicinae labii oris. Die Gefäße veranlassen die Schwellbarkeit der Lippen, steigen aufwärts zum Lippenrande, machen daselbst eine Umwendung und kehren wieder zurück.

Ich habe diese Gefäße auf diese Tafel gebracht, weil die nächst folgende Tafel die Glandulae labiales gibt.

Taf. X. DRÜSEN DER ZUNGE.

sie sind Glandulae vesiculatae mit receptaculis pituitae — Folliculi, Capiti — Die Drüsen liegen hinter den Schilddrüsen, und
deponiren den Schleim in sie.

- Fig. 1. Die Zunge durch die Länge gesehen.
a. Papilla vallata.
b. Papilla conica.
c. Papilla fungiformis.
d. Folliculi mucosi mit ihren Öffnungen. — In den
folgenden Figuren sind alle diese Theile vergrößert.
Fig. 2. Ein senkrechter Durchschnitt zeigt die Form eines ex-
terna folliculorum — receptaculum pituitae —
Fig. 3. und 4. Säcke, geöffnete und geschlossene, mit einem
Foramen arteriolum, hinter welchem die Schilddrüsen
liegen und den Schleim in die Säcke — Receptacula
pituitae — deponiren.
Fig. 5. Ein aufgeschchnittener Schleimsack, hinter welchem die
Drüsen liegen.
a. Schlund.
b. Drei Drüsen, in den Sack hineingehend.
Fig. 6. Die Schilddrüse mit Öffnung, und von Gefäßen
umgeben.
a. Schlund.
b. Öffnung.
c. Gefäß.
Fig. 7. Ein senkrechter Durchschnitt eines Schilddrüsen-
a. Schilddrüse.
b. Hohlraum.
c. Gefäß.
Fig. 8. Ein Querschnitt von blutgefäßreichen Drüsen, welche den
Schleim in ihre Hohlräume deponiren, zwischen denen
eine arterielle Schlinge

- Fig. 9. Ein Querschnitt von blutgefäßreichen Drüsen, zwischen
intergestellten Muskelfasern liegend. — Uterus —
a. Glandulae vesiculatae.
b. Interstellare Muskelfasern.
Fig. 10. Eine Glandula vesiculata mit einer rissigen
Verfärbung. In den Bläschen zeigt sich eine körnige
Masse — Contentum —
a. Bläschen.
b. Interstellare Muskelfasern.
c. Rüssel.
Fig. 11. Eine injicirte Papilla fungiformis — Uterus —
a. Papilla fungiformis, deren Gefäß, von der Papilla
durch einen Kanal, ein Gefäß arteriolum bilden.
b. Injicirte Circulationis vasa.
Fig. 12. Eine injicirte Papilla vallata — Uterus —
a. Das Gefäß arteriolum durch Papilla ist injicirt.
b. Injicirte Circulationis vasa.
Fig. 13. Papilla conica, injicirt. Sie zeigen den Lumen-
raum — Uterus —
Fig. 14. Äußerer Theil des Uterus. Die Gefäße verlaufen
in der Hohlheit der Papilla, zeigen an der Basis
einen Kanal, welcher dieselbe mit den Gefäßen und
Lumen verbindet.
Fig. 15. Ein Querschnitt durch den Papilla fungiformis, weil der
Uterus nicht injicirt ist, daher kein Kanal durch Papilla, weil der
Uterus folgende Theile der Glandulae enthält.

MIKROSKOPISCH-ANATOMISCHE
ABBILDUNGEN

VON

C. J. M. LANGENBECK,
ORDENTLICHEM PROFESSOR DER ANATOMIE UND CHIRURGIE.

ZUR

ERLÄUTERUNG SEINES HANDBUCHES.

DRITTE LIEFERUNG.

TAFEL XI—XIV.

GÖTTINGEN
IN DER DIETERICHSCHEN BUCHHANDLUNG.

1850.

MIKROSKOPISCH-ANATOMISCHE

ABHANDLUNGEN

VON

G. J. M. LAANEN

ORDENTLICHEN PROFESSOR DER ANATOMIE UND HISTOLOGIE

IN

ERLEUTERUNG SEINER HANDBUCHES

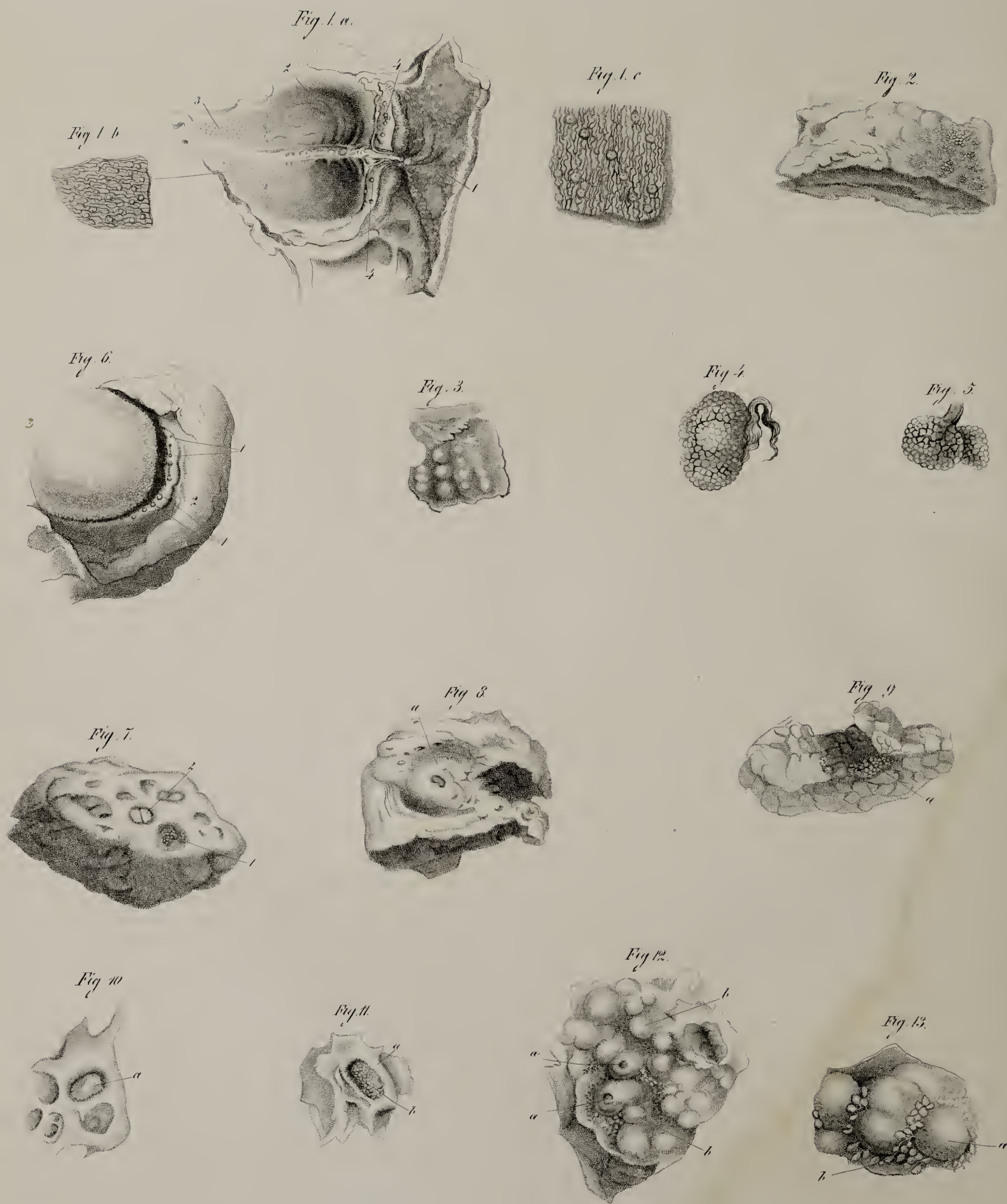
DRITTE AUFLAGE

LEIPZIG 1870

VERLAG

IN DER BUCHHANDLUNG FRIEDRICH VON VOGEL

1870



ERKLÄRUNG DER ABBILDUNGEN.

T A F. X I.

DRÜSEN DER MUNDHÖHLE, DER LIPPEN, WANGEN, DES ZAHNFLEISCHES UND DER TONSILLEN.

- Fig. 1. a. 1. Glandulae labii superioris oris.
2. Gland. involucris palati duri.
3. Gland. veli palatini, et uvulae.
4. Gland. gingivales — tartaricae —.
- Fig. 1. b. Gland. veli palatini — 16mal —.
- Fig. 1. c. Gland. labiales — 10mal —.
- Fig. 2. Gland. labiales, wie sie zusammengedrängt im Parenchym liegen — 6mal —.
- Fig. 3. Gland. labiales — 15mal —.
- Fig. 4. Eine Gland. labialis, aus mehreren Bläschen bestehend, mit Ductus excretorius — 50mal —. Glandula racemosa mit Ductus excretorius, ähnlich der Parotis —.
- Fig. 5. Eine gleiche Drüse mit einem Anhang und Ductus excretorius.
- Fig. 6. 1. 1. Gland. gingivales — tartaricae —. 2. Labium inferius. 3. Zunge.
- Fig. 7. Eine Tonsille, gleich nach der Exstirpation an einem Lebenden gezeichnet, woran die Taschen — Receptacula mucis — zu sehen sind.
1. Ein Receptaculum, in welchem man die feinen Drüsenbläschen wahrnimmt.
2. Ein solches mit Schleim angefüllt.
- Fig. 8. Ein grosses Receptaculum mit Öffnungen, mit a. bezeichnet.
- Fig. 9. Einzelne Vesiculae hinter dem Involucrum, durch a. bezeichnet.
- Fig. 10. Folliculi mucosi. a. zeigt den Schleim darin.
- Fig. 11. Dasselbe.
a. Der Rand eines Receptaculum.
b. Die Bläschen.
- Fig. 12. Ein senkrechter Durchschnitt einer Tonsille, um die Schleimbläschen im Parenchym zu zeigen.
a. a. Öffnungen in den Folliculis selbst.
b. b. Andere Folliculi. — 20mal —.
- Fig. 13. Dasselbe bei 80facher Vergrößerung.
a. Eine Schleimdrüse.
b. Herausgedrungener Schleim.

Diese beiden Figuren zeigen demnach die in den andern Abbildungen weniger vergrößerten Schleimbläschen selbst stark vergrößert ohne Receptacula mucosa.

Fig. 1.

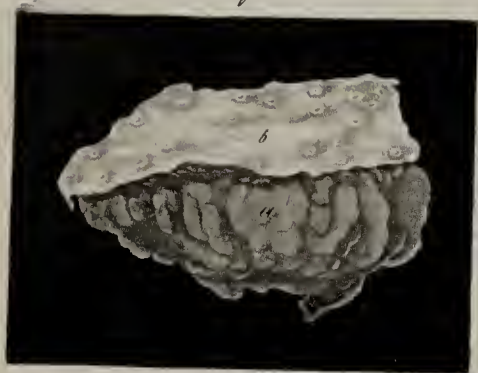


Fig. 2.



Fig. 3.

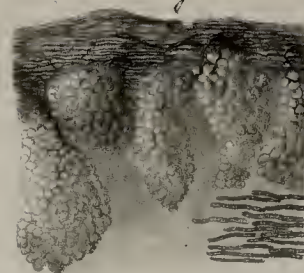


Fig. 4.



Fig. 5.



Fig. 6.



Fig. 7.

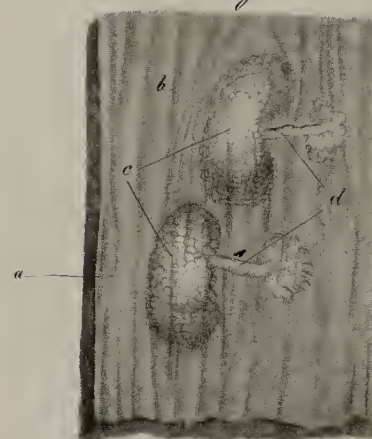


Fig. 8.

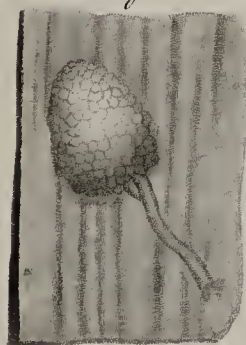


Fig. 9.



Fig. 10.



Fig. 11.

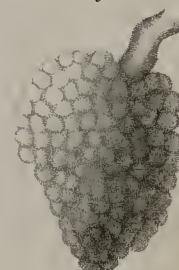


Fig. 12.

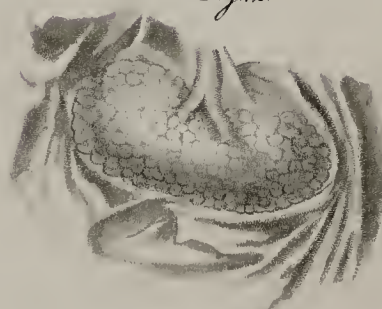


Fig. 14.



Fig. 13.

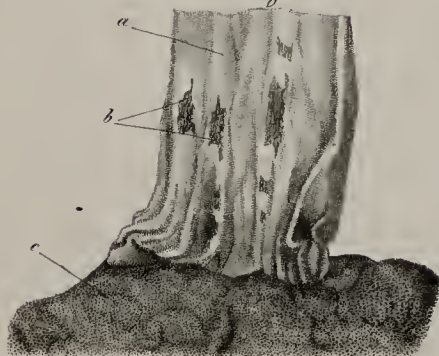


Fig. 15.



Fig. 16.



T A F. XII.

DRÜSEN DES VELUM PALATINUM, DES OESOPHAGUS, UND DER FAUCES.

Fig. 1. Ein Stück vom Gaumensegel des Pferdes, durch die Loupe gesehen. Man sieht die Öffnungen im Involucrum und unter demselben den Drüsen-Apparat.

- a. Glandulae racemosae.
- b. Involucrum.

Fig. 2. Gaumensegel vom Menschen — 10mal —.

- a. Involucrum.
- b. Ductus excretorii.
- c. Glandulae racemosae.
- d. Muskeln.

Fig. 3. Glandulae racemosae des Gaumensegels vom Kinde — 50mal —.

Fig. 4. Zwei traubenförmige Drüsen des Gaumensegels vom erwachsenen Menschen — 100mal — mit einem Ductus excretorius a.

Fig. 5. Drüsen des Oesophagus, von der innern Wand aus mit der Loupe gesehen, wie kleine Körnchen.

Fig. 6. Drüsen von aussen — 2mal —.

Fig. 7. Zwei nierenförmige Glandulae racemosae des Oesophagus, auf dem muskulösen Stratum liegend, vom Involucrum überzogen. Eine Ansicht vom Lumen aus — 30mal —.

- a. Muskulöses Stratum.
- b. Involucrum glandularum.
- c. Glandulae racemosae.
- d. Ductus excretorii.

Fig. 8. Eine conische einzelne Glandula racemosa oesophagi mit Ductus excretorius, vom Lumen der Speiseröhre aus — 50mal —.

Fig. 9. Zwei Glandulae racemosae oesophagi — 50mal —.

- a. Die grössere.
- b. Der Ductus excretorius derselben.
- c. Die kleinere Drüse.
- d. Deren Ductus excretorius, welcher in den anderen einmündet.

Fig. 10. Eine in ihrem Stroma liegende Glandula racemosa mit ihrem Ductus excretorius, woran man die Beeren bei 4facher Vergrösserung nicht sieht.

Fig. 11. Dieselbe Drüse mit Beeren und Ductus — 30mal —.

Fig. 12. Eine nieren-beerenförmige Drüse des Oesophagus — 50mal —.

Fig. 13. Das Epithelium des Oesophagus.

- a. Epithelium.
- b. Stellen, wo dasselbe von den Gefässen getrennt ist.
- c. Rete vasculosum ventriculi.

Fig. 14. Fasern des Epithelium oesophagi.

Fig. 15. Zeigt die verschiedene Richtung der Gefässe des Oesophagus und des Magens.

- a. Gefässe des Oesophagus laufen wellenförmig.
- b. Die des Magens laufen maschenförmig.

Fig. 16. Eine Darstellung der Drüsen der Fauces vom Lumen aus.

T A F. XIII.

D R Ü S E N D E S M A G E N S.

- | | |
|---|---|
| <p>Fig. 1. Cryptae mucosae, welche in der Gegend des Pylorus a in grosser Anzahl neben einander liegen, woran die Foramina excretoria zu sehen sind. Dieselben Drüsen in den Falten des Magens b — Mensch —.</p> <p>Fig. 2. Cryptae mucosae des Duodenum, welches zu obigem Magen gehört.</p> <p>Fig. 3. Eine Crypta mucosa a, umgeben vom Rete vasculosum b — wagerechter Schnitt, 120mal —. Mensch.</p> <p>Fig. 4. Eine solche Drüse a, durch einen senkrechten Schnitt dargestellt, mit herausgedrücktem Inhalte b — 120mal —. Mensch.</p> <p>Fig. 5. Magensaftsdrüsen des Menschen. Senkrechter Schnitt — 100mal —.</p> <p style="padding-left: 20px;">a. Rete vasculosum.</p> <p style="padding-left: 20px;">b. Tunica carnea.</p> <p>Fig. 6. Magensaftsdrüsen, wagerecht durchgeschnitten — 150mal —. Mensch.</p> | <p>Fig. 7. Inhalt der Magensaftsdrüsen des Menschen — 200mal —.</p> <p>Fig. 8. Magensaftsdrüsen des Menschen — 500mal —.</p> <p>Fig. 9. a. Einzelner Schlauch mit darin zu sehendem Inhalte.</p> <p>Fig. 9. b. Inhalt allein — 300mal —. Mensch.</p> <p>Fig. 10. a. a. a. a. a. Ulcera ventriculi.</p> <p>Fig. 11. Rete vasculosum ventriculi — 20mal —.</p> <p>Fig. 12. Die Gefässnetze des Magens — 100mal —. a. a. zeigen die Maschen.</p> <p>Fig. 13. Die Magensaftsdrüsen, wie in Fig. 5.</p> <p style="padding-left: 20px;">a. Rete vasculosum.</p> <p style="padding-left: 20px;">b. Tunica carnea. Schwein.</p> <p>Fig. 14. Ein oberflächlicher wagerechter Schnitt zeigt die Bläschen der Magensaftsdrüsen. Schwein.</p> <p>Fig. 15. Ein tieferer wagerechter Schnitt hat die Bläschen selbst getrennt. Schwein.</p> |
|---|---|

Fig. 1.

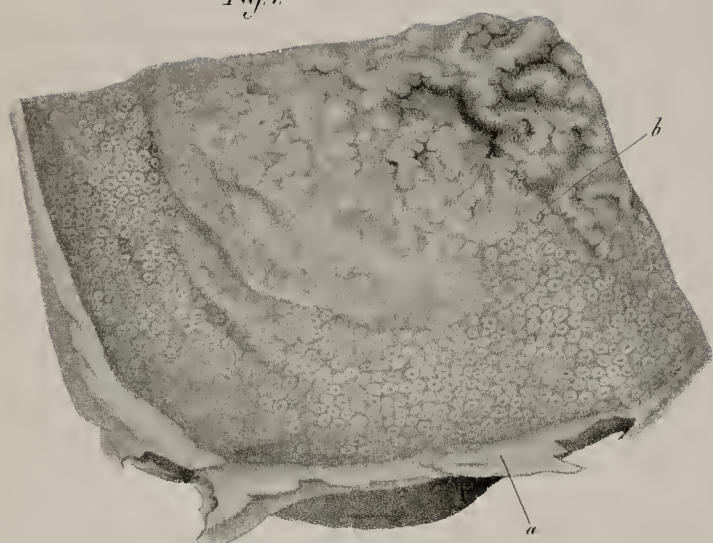


Fig. 2.

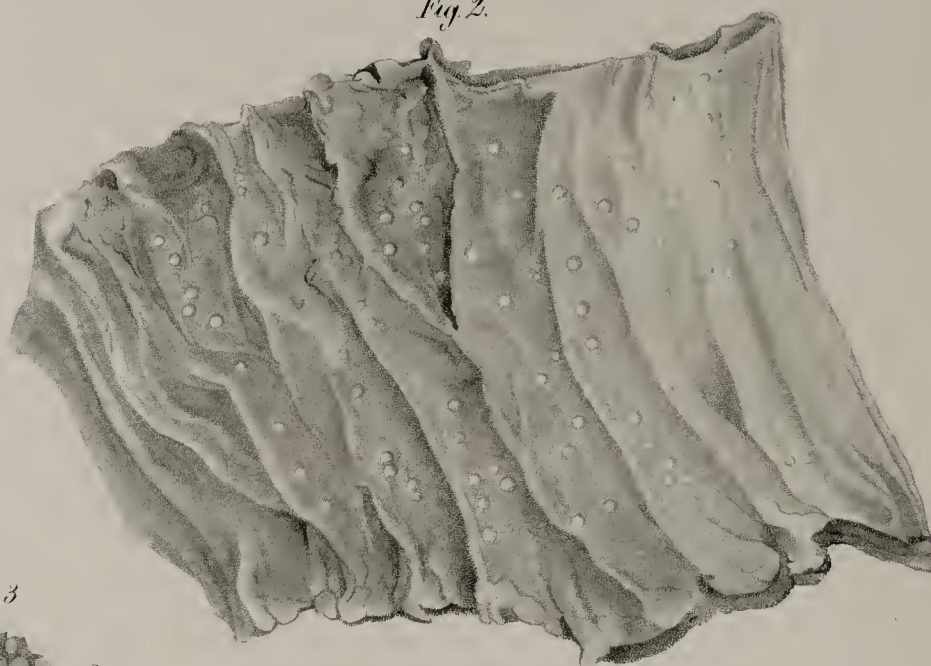


Fig. 4.



Fig. 3.

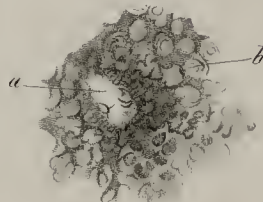


Fig. 13.

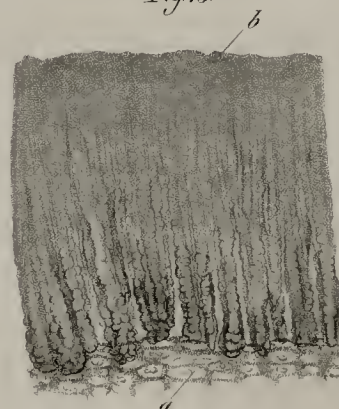


Fig. 5.

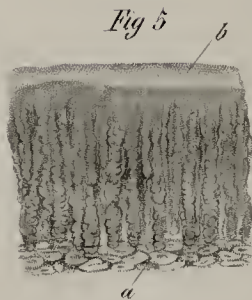


Fig. 7.



Fig. 6.

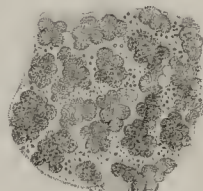


Fig. 9.



Fig. 8.

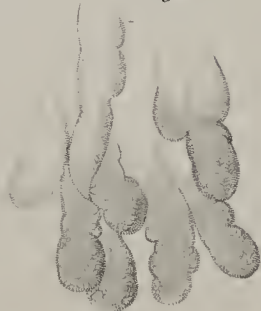


Fig. 15.

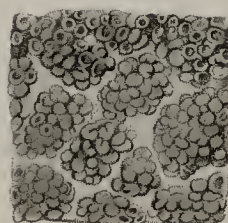


Fig. 14.



Fig. 11.

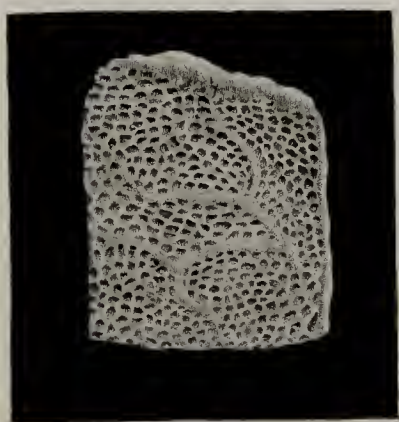


Fig. 10.

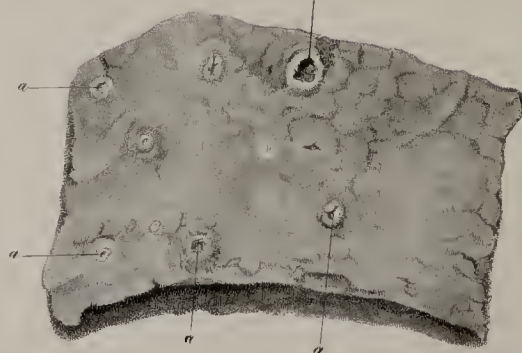
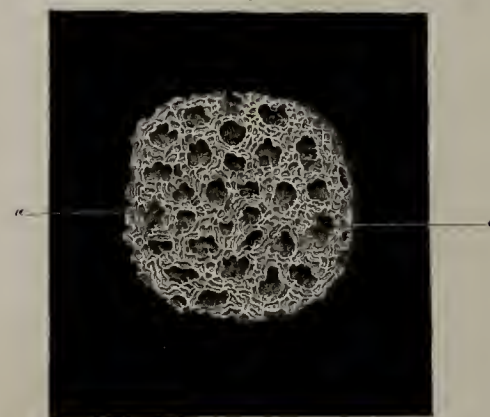


Fig. 12.



T A F. X I V.

D R Ü S E N D E S D U O D E N U M.

- Fig. 1. Die breiten injicirten Zotten, mit stumpfen Spitzen, welche wellenförmig Falten bilden — 30mal — Mensch.
- Fig. 2 und 3 zeigen die Zottencapillaren vergrößert. Mensch.
- Fig. 4. Cryptae mucosae, von injicirten Capillaren umspannen, — 25mal — Mensch.
- Fig. 5. Dieselben Drüsen, theils ganz a, theils durchgeschnitten b. Schwein.
- Fig. 6. Drei Schleimdrüsen vom Schwein.
- Fig. 7. Eine Crypta mucosa, durch einen senkrechten Schnitt dargestellt, liegend zwischen den Ausführungsgängen der Brunner'schen Drüsen, in welcher der Inhalt zu sehen ist — 50mal — Schwein.
- a. Crypta.
- b. b. Ausführungsgänge der Brunner'schen Drüsen.
- c. c. Brunner'sche Drüsen, welche tiefer liegen, als die Schleimbälge.
- d. Ein Streifen vom Stroma.
- Fig. 8. Brunner'sche Drüsen, mit der Loupe von aussen gesehen.
- a. Pylorus.
- b. Magen.
- Fig. 9. Brunner'sche Drüsen, woran darmförmige Windungen zu sehen sind. Schwein.
- a. a. Drüsen.
- b. Spiralförmig gewundene Ausführungsgänge.
- c. Inhalt.
- d. Ein Stück vom Stroma.
- Fig. 10. Brunner'sche Drüsen, wagerecht durchgeschnitten. Schwein.
- Fig. 11. Brunner'sche Drüsen, auf welchen die Zotten a zu sehen sind — 8mal — Mensch.
- Fig. 12 und 13 zeigen traubenförmige Brunner'sche Drüsen mit Ausführungsgängen.
- Fig. 14. Ein einzelner Ausführungsgang einer Brunner'schen Drüse mit Inhalt — 400mal — Schwein.
- Fig. 15. Ein einzelnes Bläschen von einer Brunner'schen Drüse, mit Inhalt — 400mal — Schwein.
- Fig. 16. a. Schleimkörperchen einer Crypta mucosa — 350mal —.
- Fig. 16. b. Dieselben 800mal — Schwein —.

Fig. 1.



Fig. 2.

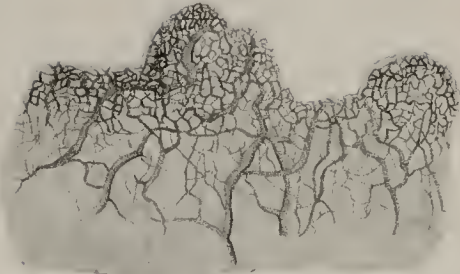


Fig. 3.



Fig. 6.

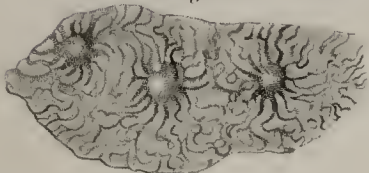


Fig. 10.

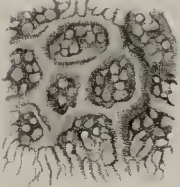


Fig. 5.



Fig. 7.



Fig. 14.



Fig. 15.



Fig. 16.

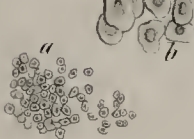


Fig. 4.



Fig. 8.



Fig. 9.

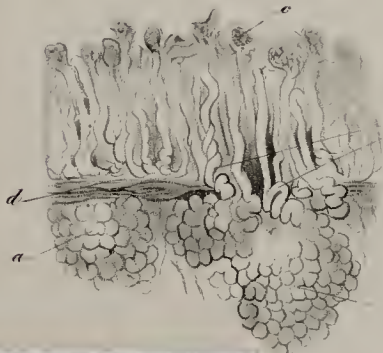


Fig. 12.

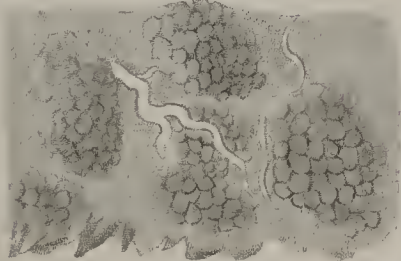


Fig. 11.

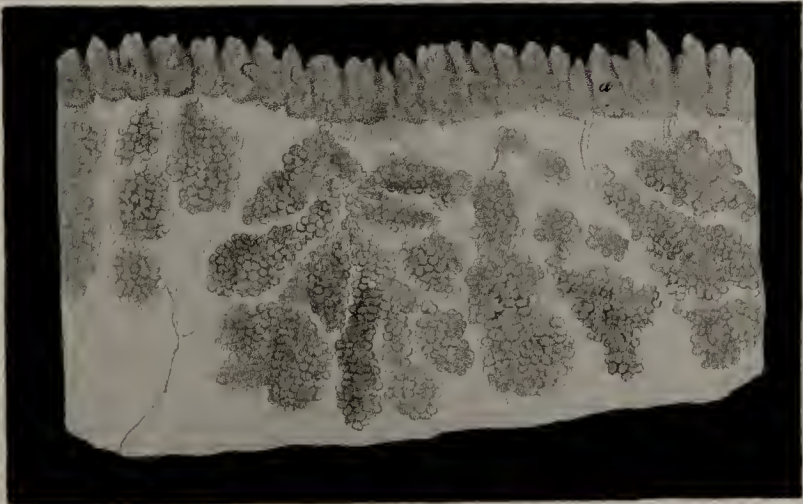
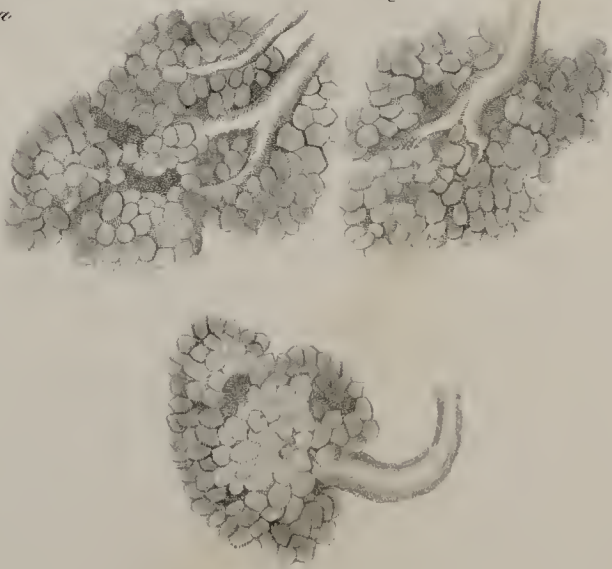


Fig. 13.



MIKROSKOPISCH-ANATOMISCHE
ABBILDUNGEN

VON

C. J. M. LANGENBECK,

ORDENTLICHEM PROFESSOR DER ANATOMIE UND CHIRURGIE.

ZUR

ERLÄUTERUNG SEINES HANDBUCHES.

VIERTE LIEFERUNG.

TAFEL XV—XVII.

GÖTTINGEN,

IN DER DIETERICHSCHEM BUCHHANDLUNG.

1850.

MIKROSKOPISCH-ANATOMISCHE

ABRILDUNGEN

702

C. J. M. LANGENBECK,

ORDENTLIJKE PROFESSOR DER ANATOMIE EN CHIRURGIE

208

ERLÄUTERUNG SEINES VANDERBEEKS

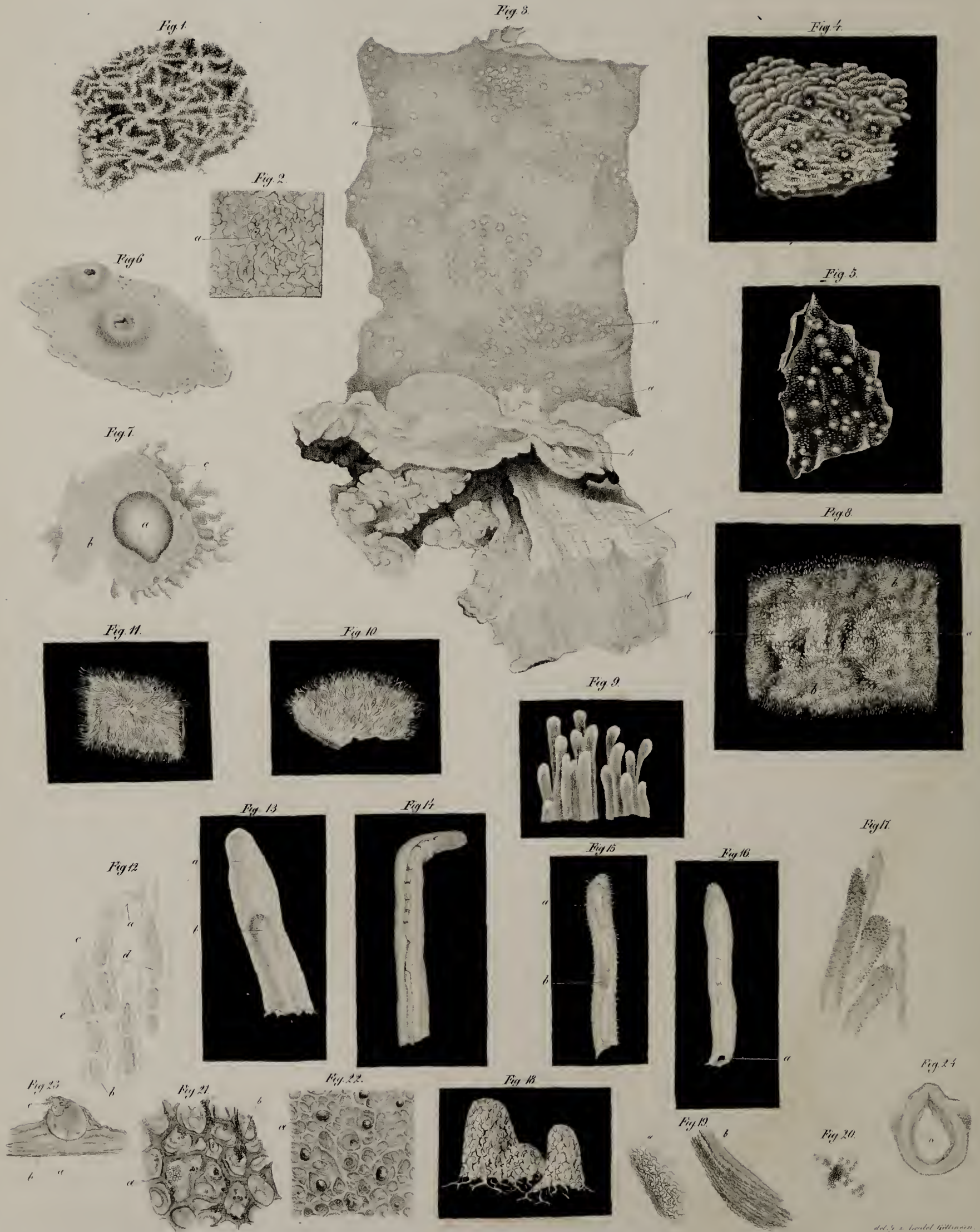
4187E LIEFERUNG

TAAL: 21 - 2111

ERLÄUTERUNG

IN DER ANATOMIE EN CHIRURGIE

1890



ERKLÄRUNG DER ABBILDUNGEN.

T A F. X V.

GALLENBLASE, PEYERSCHE DRÜSEN, DARMZOTTEN, UND CHYLUSGEFÄSSE.

- Fig. 1. Die wellenförmig gewundene innere Haut der Gallenblase — 30mal —.
- Fig. 2. a. Sauggefässe auf der äussern Fläche der Gallenblase unter der Serosa — 30mal —.
- Fig. 3. Peyersche Drüsen — *Cryptae mucosae agminatae* —.
- a. a. a. Mündungen der Bälge.
- b. Valvula coli.
- c. Tunica muscularis coli.
- d. Tunica serosa coli.
- Fig. 4. Peyersche Drüsen zwischen injicirten Darmzotten — 25mal —.
- Fig. 5. Peyersche Drüsen nach weggenommener Muskelhaut von innen aus, bei auffallendem Lichte.
- Fig. 6. Zwei Peyersche Drüsen mit Mündungen, überzogen vom *Involucrum mucosum* — 30mal —.
- Fig. 7. Eine von jenen beiden Drüsen, gesehen hinter dem *Involucrum mucosum*, zwischen diesem und der weggenommenen Carnea — 30mal —.
- a. Peyersche Drüse.
- b. Die Fläche des *Involucrum mucosum*, welche an der Carnea liegt.
- c. c. Hervorragende Zotten.
- Fig. 8. Darmzotten vom Ochsen, theils leer, theils mit Chylus angefüllt, gleich nach dem Tode gesehen — mit der Loupe —.
- a. a. Kolbenförmiger Anfang derjenigen Zotten — Diverticula —, worin angefüllte Chylusgefässe liegen. Dahin gehören alle diejenigen, welche ein weisses Aussehen haben.
- b. b. Leere Zotten.
- Fig. 9. Vergrösserte leere Zotten vom Ochsen.
- Fig. 10 und 11. Zotten vom Kalbe.
- Fig. 12. Mehrere Diverticula — Zotten — mit angefüllten Chylusgefässen — stark gepresst —.
- a. Zotte.
- b. Ende derselben.
- c. Kolbenförmiger Anfang der Zotte.
- d. Ein im Centrum des Diverticulum liegendes Chylusgefäss, angefüllt mit Chylus, von einem Kalbe, welches kurz vor dem Tode gesogen hatte — 180mal —.
- e. Unterbrechung des Chylus. — Niemals habe ich in der zottenförmigen Scheide mehrere Verzweigungen — Netze — von Chylusgefässen gesehen, sondern nur ein einziges *Vas chyli ferum centrale*, wie alle Abbildungen zeigen, und zahlreiche Untersuchungen bestätigt haben.
- Fig. 13. Ein Diverticulum mit einem Chylusgefäss, bei durchfallendem Lichte, vom Kalbe — 480mal —.
- a. Diverticulum.
- b. Kolbenförmige Spitze — Ampulla — des Chylusgefässes, mit Chylus angefüllt.
- Fig. 14. Ein Diverticulum mit gebogenem Anfange, ein Chylusgefäss enthaltend, vom Kalbe, bei auffallendem Lichte gesehen. Die Bezeichnung der Fig. 13 passt auch auf diese Figur.
- Fig. 15. Ein Diverticulum mit Epithelium vom Kalbe — 350mal —.
- a. Epithelium.
- b. Chylusgefäss.
- Fig. 16. Eine hohle Zotte
- a. für das Chylusgefäss, vom Kalbe, bei auffallendem Lichte — 350mal.
- Fig. 17. Diverticula mit Epithelium, mit angefüllten und leeren Chylusgefässen von einer jungen Katze — 300mal —.
- Fig. 18. Drei Zotten, deren Oberfläche von einem Rete vasculosum, durch Injection dargestellt, umspinnen sind.
- Fig. 19. a. 19. b. Fadengewebe des Ductus thoracicus.
- Fig. 20. Chylus-Kügelchen aus demselben.
- Fig. 21. Innere Fläche der Gallenblase des Menschen.
- a. Fett.
- b. *Cryptae mucosae*.
- Fig. 22. An der inneren Fläche der Gallenblase des Schweines sind die *Cryptae* mit a. bezeichnet.
- Fig. 23. Eine solche einzelne *Crypta*.
- a. Senkrecht durchgeschnittener Balg.
- b. Stroma.
- c. Inhalt.
- Fig. 24. Kreisschnitt vom Ductus thoracicus.
- a. zeigt das ringförmige des Fadengewebes, der Fig. 19. a. 19. b.

Fig. 1.

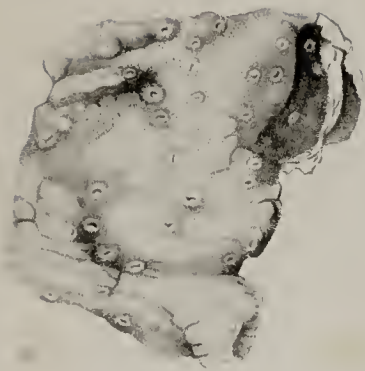


Fig. 2.

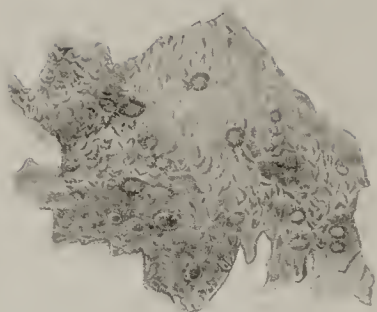


Fig. 3.

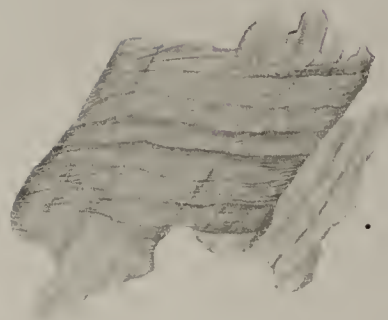


Fig. 4.



Fig. 5.



Fig. 6.



Fig. 9.

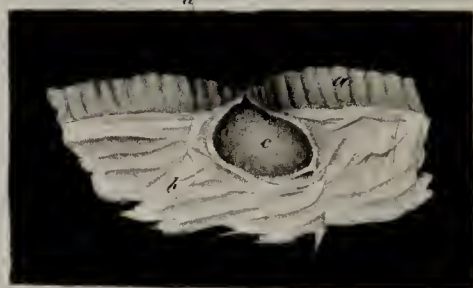


Fig. 7.

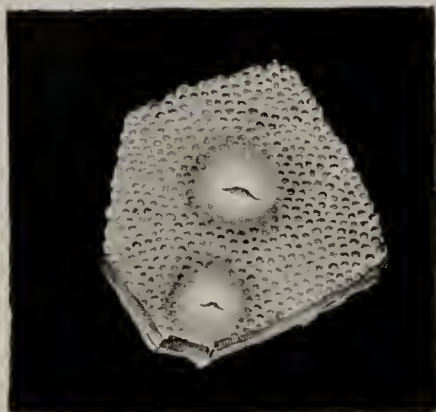


Fig. 8.

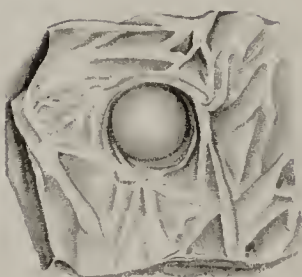


Fig. 11.

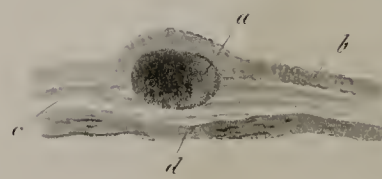


Fig. 10.

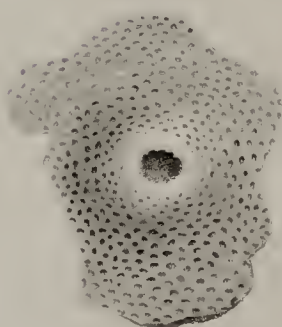


Fig. 14.



Fig. 12.



Fig. 13.



T A F. XVI.

D R Ü S E N D E S C O L O N.

- Fig. 1. Cryptae mucosae Coli transversi, woran man Öffnungen sieht.
- Fig. 2. Dieselben von der Valvula Coli.
- Fig. 3. Tunica muscularis, abgezogen von den Drüsen der Fig. 2.
- Fig. 4. Cryptae mucosae Coli, nahe am Appendix vermiformis.
- Fig. 5. Diese Drüsen, gesehen von der äusseren Fläche der Mucosa aus, welche an der Muscularis liegt.
- a. Zeigt eine Öffnung des Involucrum mucosum nach weggenommener Drüse.
- Fig. 6. Drei Glandulae mucosae solitariae.
- a. Eine solche Drüse durch einen senkrechten Schnitt dargestellt. Man sieht ihre Lage im Stroma zwischen der Mucosa und Muscularis.
- Fig. 7. Zwei Glandulae mucosae Coeci mit länglichen Öffnungen.
- Fig. 8. Ein solcher Balg aus dem Coecum, von hinten gesehen — 40mal. —
- Fig. 9. Ein solcher Balg, durch einen senkrechten Schnitt gespalten, um das Cavum desselben zu zeigen — 40mal. —
- a. Involucrum mucosum.

- b. Tela submucosa.
- c. Cavum cryptae.
- d. Ductus excretorius.
- Fig. 10. Eine Crypta des Colon transversum mit grosser Öffnung — 20mal. —
- Fig. 11. Ein solcher Balg, senkrecht durchgeschnitten.
- a. Cavum der Crypta, mit Schleim angefüllt.
- b. Involucrum mucosum.
- c. Tela submucosa — Stroma glandulae.
- d. Tunica muscularis.
- Fig. 12. Dieselbe Ansicht.
- a. Involucrum mucosum.
- b. Öffnung desselben und der Drüse.
- c. Tunica muscularis.
- d. Tela submucosa.
- Fig. 13. Drei Glandulae solitariae, nach abgezogener Mucosa.
- Fig. 14. Ein einzelner Schleimbalg in seinem Stroma.

T A F. XVII.

D R Ü S E N D E S C O L O N U N D R E C T U M.

Fig. 1. Cryptae mucosae von einem an der Cholera Gestorbenen, mit Schleim angefüllt.

Fig. 2. Eine Crypta davon.

a. Receptaculum Cryptae.

b. Geplatzte Crypta.

c. Inhalt.

Fig. 3. Cryptae mucosae mit sichtbaren Öffnungen, a. Coli transversi, vom injicirten Rete vasculosum umgeben — 6mal —.

Fig. 4. Vergrössertes Rete vasculosum — 50mal —.

Fig. 5. Eine Crypta a. — 50mal —.

Fig. 6. Dieselbe Crypta von hinten, umgeben von einem Gefässkranze, und mit Capillaren auf dem Balge.

Fig. 7. Cryptae Recti des Menschen.

a. Taschen, worin die Bälge liegen.

b. Ein Balg in einer Tasche.

c. Rugae — Columnae Recti —.

d. Cryptae zwischen den Falten.

Fig. 8. Cryptae mucosae a. a. am Orificium ani einer jungen Katze.

Fig. 9. Dieselben Drüsen a. bei auffallendem Lichte — 40mal —.

Fig. 10. Dieselben bei durchfallendem Lichte.

a. Crypta.

b. Rand der Tasche.

Fig. 1.

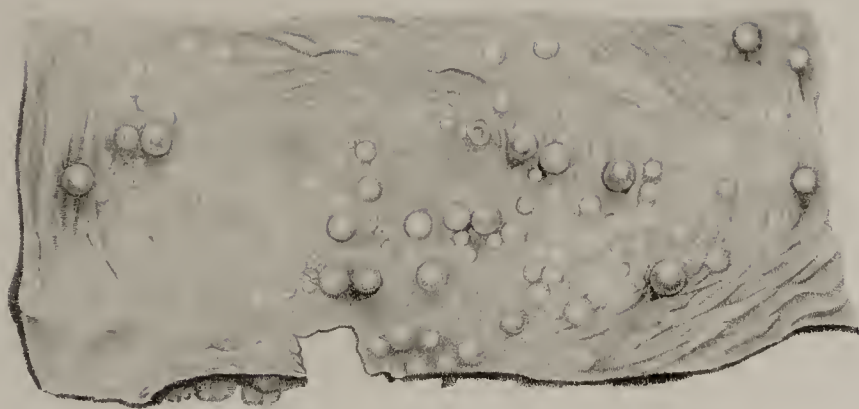


Fig. 2.



Fig. 3.

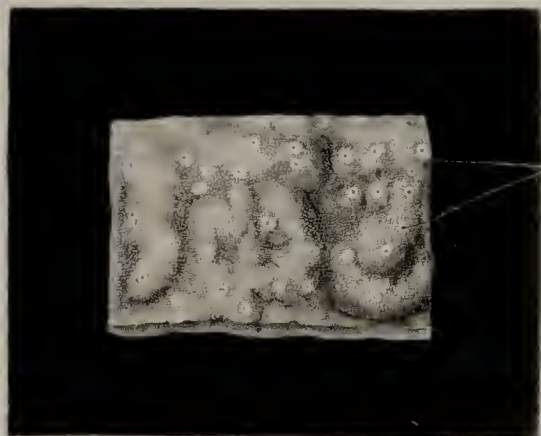


Fig. 4.



Fig. 5.



Fig. 6.

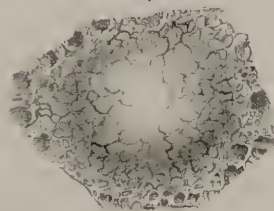


Fig. 10.



Fig. 7.

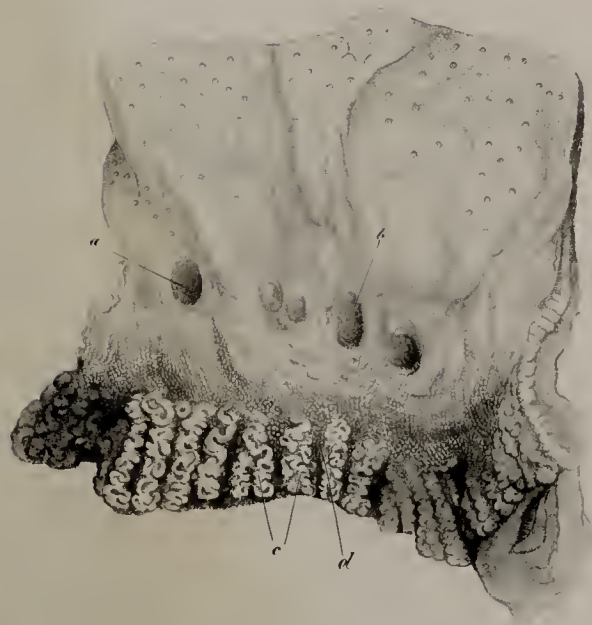


Fig. 8.



Fig. 9.



